
PŘEDNÁŠKY Z AMATÉRSKÉ RADIOTECHNIKY

Petr Novák OK1WPN

OBVODOVÁ TECHNIKA KMITOČTOVÉ MODULACE IV.

ÚV SVAZU PRO SPOLUPRÁCI S ARMÁDOU

Úvodem	7
1. NAPÁJECÍ ZDROJE RADIOSTANIC PRO PROVOZ FM	8
1.2 Primární články	8
1.2.1 Konstrukce suchých článků	11
1.3 Sekundární články - akumulátory	19
1.3.1 Základní pojmy z techniky akumulátorů	20
1.3.2 Olověný akumulátor, princip a konstrukce	24
1.3.3 Alkalické akumulátory	29
1.3.4 Niklakadmiový článek	29
1.3.5 Československé nálevné akumulátory PERAK	33
1.3.6 Hermeticky uzavřené /plynotěsné/ články NiCd	34
1.3.7 Spojování plynотěsných článků do baterií	37
1.3.8 Nabíjení plynnotěsných akumulátorů asymetrickým proudem	42
1.3.9 Niklocelové akumulátory - NiFe	46
1.3.10 Stříbrozinkové akumulátory - AgZn	46
2. NAPÁJENÍ VOZIDLOVÝCH RADIOSTANIC	49
2.1 Přímé napájení z akumulátoru 12 V	49
2.2 Nepřímé napájení - měniče napětí	53
2.2.1 Měnič s akumulační tlumivkou	55
2.2.2 Návrh akumulační tlumivky měniče	59
2.2.3 Magnetické materiály pro měniče napětí	64
2.2.4 Výkonové prvky měničů	72

2.2.5 Řídící obvody měničů	75
2.2.6 Praktické příklady impulsních měničů	75
2.2.7 Měnič 12 V/24 V s impulsním transformátorem	83
2.2.8 Měnič 6 V/12 V dle návrhu Y22QN	86
3. ODRUŠOVÁNÍ RADIOSTANIC V MOTOROVÉM VOZIDLE	91
3.1 Odrušení měničů napětí	93
3.1.1 Odrušení primérní části měniče	94
3.1.2 Odrušení sekundární části měniče	95
3.2 Rušení způsobené palubní sítí vozidla	96
3.2.1 Rušení pronikající anténním přívodem	98
3.2.2 Základní odrušení I. stupně	99
3.2.3 Zvláštní odrušení II. stupně	105
Závěrem	109

V pořadí čtvrtá část souboru Obvodová technika kmitočtové modulace je zaměřena na napájení radiostanic pro FM a jejich instalaci v motorových vozidlech.

Otázka napájení, na první pohled nedůležitá, má právě v případě provozu FM svůj stěžejní význam. Výrazně umocňuje konečný efekt tohoto druhu komunikace, kterým je především operativnost stanic, jejich nezávislost na energetické síti a tím prakticky neomezená pohyblivost v daném území či terénu.

V práci je probrána problematika elektrochemických zdrojů primárních i sekundárních, dále nepřímé napájení radiostanic prostřednictvím měničů napětí. Poslední část je věnována vzájemnému vlivu motorového vozidla a vestavěné radiostanice.

Práce si klade za úkol sesknámit svazarmovské konstruktéry se zásadami provozu mobilních radiostanic a tak přispět k jeho většímu rozvoji. že přitom najde pouze o běžný radioamatérský provoz, dokazuje akce "Radio SOS Svazarm", vyhlášená v r. 1987, s vysoké humánním podtextem, zaměřená na záchranu lidských životů při dopravních nehodách. Mělo by se stát všechni cti každého radioamatéra - motocisty, aby se do této významné iniciativy aktivně zapojil.

K řešení technických otázek má pomocí i tato publikace.

1. NAPÁJECI ZDROJE RADIOSTANIC PRO PROVOZ FM

Doménou provozu FM je bezesporu využití přenosných a mobilních radiostanic, u kterých dáváme přednost bateriovému napájení. Teprve na druhém místě je sítové napájení stolních zařízení.

Výhody tohoto přístupu jsou zřejmé. Zařízení napájené z baterií můžeme použít kdekoli při turistickém či mobilním provozu, jejich eventuální sítové napájení je otázkou jednoduchého, vhodně dimenzovaného sítového zdroje.

U zařízení, určených pro provoz ze sítě, je případné bateriové napájení často problematické, svou roli hraje i hmotnost vestavěného sítového transformátoru.

1.1 ELEKTROCHEMICKÉ ZDROJE

Pro bateriové napájení se skoro výhradně používají chemické zdroje proudu. Příslušné baterie sestávají z jednotlivých článků spojených do série podle požadovaného výsledného napětí. Základem každé baterie je tedy elektrochemický článek.

Podle druhu a funkce rozdělujeme tyto články na primární a sekundární.

U primárních článků vzniká elektrická energie chemickou reakcí jednotlivých komponentů. V průběhu exploatace /tj. vybíjení/ článků se tyto komponenty rozkládají a mění až k úplnému vybití článků. Tento proces /chemická reakce/ je nevratný, zreagované

komponenty nelze opětovným nabíjením přivést do původního stavu.

Články sekundární se vyznačují vrátnou chemickou reakcí. Nabíjením, tj. přiváděním elektrické energie do článku, se mění chemické složení elektrod. Při vybijení se elektrody vracejí druhotně čili sekundárně do původního stavu, přitom je zpětně uvolňována elektrická energie. Nabíjecí proces můžeme označit jako akumulaci energie, proto se sekundární články nazývají též elektrické akumulátory. Primární a sekundární články mají pro napájení amatérských zařízení přednostní význam. Ostatní zdroje elektrického proudu, pracující na chemických nebo chemicko-fyzikálních principech, jako jsou palivové či Peltierovy články, se v amatérské praxi v podstatě nevyhýtuji. Určitou výjimkou je postupné rozšiřování článků solárních, tzv. slunečních baterií.

Elektrický článek /primární i sekundární/ je charakterizován především těmito parametry:

- svorkové napětí
- kapacita článku
- měrná energie

Svorkové napětí je typické pro jednotlivé druhy článků, závisí především na jejich principu, méně již na konstrukci. V průběhu exploatace článků se svorkové napětí mění podle vybijecí /u akumulátorů i nabíjecí/ charakteristiky. Je závislé i na zatížení článku.

U primárních článků rozesnáváme proto svorkové napětí jmenovité, dále požádeční při zatížení čerstvého článku a konečné vybijecí napětí.

U sekundárních článků rozlišujeme jmenovité napětí v klidu, nabíjecí napětí a vybíjecí napětí.

Kapacitu článku charakterisuje množství elektrické práce, kterou můžeme z daného článku odebírat. Je to kapacita watthodinová C_{Wh} .

Daleko častěji se však setkáváme s kapacitou ampérhodinovou C_{Ah} , kterou vypočítáme násobením vybíjecího proudu v amperech vybíjecí dobou v hodinách podle vztahu

$$C_{Ah} = I \cdot t \quad [Ah; A, h]$$

Watthodinovou kapacitu vypočítáme, násobíme-li kapacitu ampérhodinovou průměrným vybíjecím napětím, protože při vybijení článku jeho napětí klesá.

Měrná energie udává, kolik elektrické energie můžeme získat z hmotnosti 1 kg nebo objemu 1 dm^3 chemického zdroje proudu při jeho vybití za jmenovitých podmínek stanovených výrobcem. Výpočet měrné energie zdroje provádíme podle vzorců

a/ měrná energie na hmotnost 1 kg = $\frac{Wh \text{ vybitých}}{\text{hmotnost zdroje v kg}}$

b/ měrná energie na objem 1 dm^3 = $\frac{Wh \text{ vybitých}}{\text{objem zdroje v } dm^3}$

Měrná energie jako charakteristický parametr nabývá v poslední době stále více na významu. Lze jej ovlivnit novými technologickými postupy.

1.2 PRIMÁRNÍ ČLÁNKY

Mezi primární články řadíme především články suché /odvozené

od Léclanchéova článku/, dále články rtuťové, stříbrné a v poslední době stále důležitější články lithiové. Do výčtu patří i primární články normálové /Weston/.

Zdaleka ne všechny články se hodí pro napájení amatérských radiostanic, především z důvodu ekonomiky provozu. Týká se to radiostanic jak profesionálně, tak i amatérsky vyráběných. Platí to i pro zahraniční výrobky známých firem /Yaesu, ICOM atd./ a důvodem je zřejmě nenáročná manipulace, neboť u suchých článků odpadá nabíjení. Dalším důvodem je výrazný technologický pokrok v konstrukci článků, vyvolaný prudkým rozvojem oboru elektroniky. Původní suché články podstatně světšily jak kapacitu, tak i měrnou energii v poměru k objemu. Pomineme otázku všeobecné dostupnosti suchých článků v našich podmínkách a pověsimme si jednotlivých technologických etap, které vedly až k dnešním moderním článkům.

1.2.1 Konstrukce suchých článků

Pro sestavu suchých Léclanchéových článků se používá jako záporného pólu zinkového plechu, u válcových článků slouží sinková elektroda ve tvaru kališku současně jako nádoba článku. Kladným vývodem válcových článků je "panenka", slisovaná s uhlíkovou tyčinkou jako půlovým vývodem, ze směsi přírodního burelu MnO_2 a přísead /kokau, grafitu a dehtu/ zajišťujících poréznost, vodivost a soudržnost. Burel má dvojí funkci. Jednak se účastní elektrochemických reakcí se zinkem a elektrolytem, jednak slouží jako depolarizátor uhlíkové elektrody /polarizaci se rozumí vznik vodíkových bublinek na povrchu elektrody, které v podstatě elektrodu isolují, tím stoupá vnitřní odpor článku a klesá i svorkové napětí/.

Elektrolytem je roztok salmiaku / chlorid amonný NH_4Cl / a přidavkem chloridu zinečnatého ZnCl_2 a lithného LiCl_2 , omezujícími korosi zinkové nádoby v době klidu, dále chloridu hořečnatého MgCl_2 a vápenatého CaCl_2 , které jsou hygrokopické, přijímají ze vzduchu vlhkost a zabrání ji předčasnemu vysychání elektrolytu.

Průběh chemických reakcí není v Léclanchéových článcích jednoduchý. Základní proudotvornou reakci můžeme znázornit zjednodušenou rovnicí:



Při různých způsobech vybíjení probíhají rozdílné chemické reakce, které se postupně překrývají a vzájemně nahrazují. Například při velkých vybíjecích proudech, kdy je spočátku v elektrolytu dostatek chloridu amonného, převládá reakce projevující se uvolňováním amoniaku, jak lze znázornit rovnicí:



S úbytkem chloridu amonného se začíná v reakčním mechanismu článků uplatňovat voda podle rovnice:

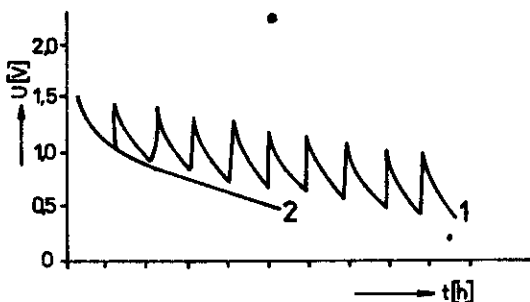


Proto ke konci životnosti dochází ke zvyšování vnitřního odporu článků a jejich vysychání.

Jako jmenovité napětí článků Léclanché se udává hodnota 1,5 V. Za konečné vybíjecí napětí se považuje hodnota podle údajů výrobce, zpravidla 0,9 V při přerušovaném vybíjení, a 0,75 V při nepřerušovaném vybíjení velkými proudy. Při přerušovaném vybije-

ní se vždy po přerušení vybijení napětí poněkud zvyšuje, článek regeneruje.

Kapacitu článku nelze proto určit jednoznačně jako u akumulátorů, protože je závislá především na způsobu provozu. Při stejném zatížení dosahují články vybijené přerušovaně vyšší kapacity než články vybijené nepřerušeně /obr.1/. Rovněž články



Obr.1 Závislost kapacity suchých Léclanchéových článků na způsobu vybijení
1 - přerušované vybijení
2 - nepřerušované vybijení

zatížené menšími proudy jsou schopné dodat více elektrické energie. Kapacita článku je závislá na konstrukci a použitych materiálech, všeobecně platí, že moderní články mohou mít několikanásobně vyšší kapacitu než články klasické.

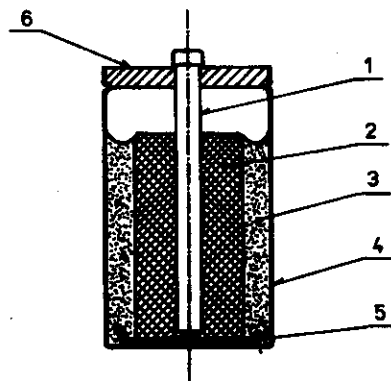
Dále kapacita závisí na provozní teplotě. S vyšší teplotou kapacita článků stoupá, s poklesem teploty se snižuje, až při teplotě pod -20°C nelze již články využít. Kapacita článků nízkými teplotami nezaniká a po zvýšení teploty se opět obnovuje. Články lze používat až do $+50^{\circ}\text{C}$.

Z obr.1 je zřejmé, že kapacita závisí i na vybijecím proudu. Se vzestupem vybijecích proudů kapacita článků klesá.

Dále kapacita závisí i na délce skladování. Články nemají být skladovány při vyšších teplotách, protože rychleji vysychají.

Podle materiálů použitych pro sestavu suchých článků Léclanchého systému MnO₂/Zn jsou v současné době používány čtyři generace článků.

První generace /obr.2/ je klasický suchý článek - lidově "baterka". Jeho funkcí a sestavu jame již popsali. Základem katody je přírodní práškový burel MnO₂ /rudu obsahuje 70 až 75% MnO₂/. Jako separátor elektrod a stužovadlo elektrolytu je po-



Obr.2 Řez klasickým suchým článkem
1 - uhlík, 2 - burel, 3 - elektrolyt studený škrobem, 4 - Zn kalíšek, 5 - izolační miska, 6 - usazovací síťka

užita škrobová pasta. Elektrolytem je chlorid amonné NH₄Cl /salinské/ s přídavkem již uvedených přísad. Zinkové pouzdro slouží jako článková nádoba a je současně záporným pólem článku. Kladný pól je vyveden uhlíkovou tyčinkou. Jsou to tradiční, běžně používané články Léclanché s kyselým elektrolytem, které jsou v současné době nejlevnější ze všech elektrochemických systémů.

Charakteristickým znakem je asfaltová sátko a papírový obal.

V dalších generacích článků se místo přírodního burelu MnO_2 používá elektrolytický oxid manganičitý, označovaný též EMD /z angl. electrolytic manganese dioxide/. EMD je velmi čistý /obsah MnO_2 je 91 až 93 %, 7 až 9 % připadá na vodu/. Průměrná velikost částic je 10 až 15 μm . Částečky mají četné mikropory, aktivní povrchová plocha je 40 až 60 $m^2 \cdot g^{-1}$.

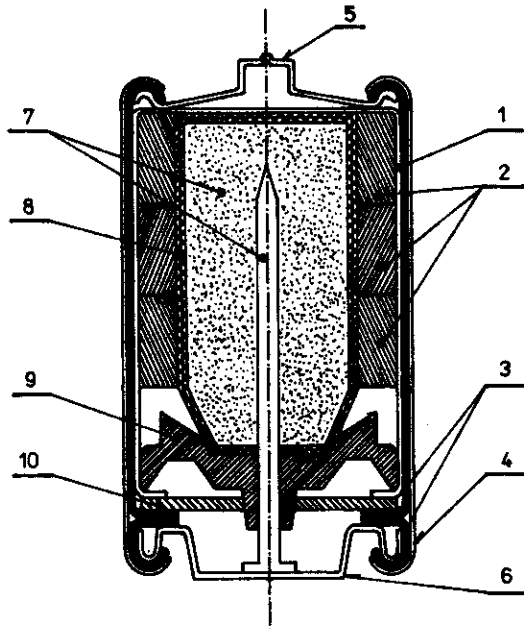
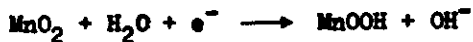
Druhá generace Léclanchéových suchých článků má v podstatě stejnou konstrukci jako první generace. Katoda však místo přírodního burelu obsahuje EMD a v článcích je použita pasta z chemicky upraveného škrobu se zvýšenou odolností vůči oxidaci. Elektrolyt je opět na bázi salmiaku / NH_4Cl /. Články jsou vhodné pro těžší provozy než články první generace. Pro sátky a obal se používají materiály z plastů.

Ve třetí generaci článků s katodou z EMD, neutrálním elektrolytem chloridem zinečnatým $ZnCl_2$ a se sníženým obsahem NH_4Cl se místo škrobového gelu používá papírového separátoru. Protože papírový separátor je mnohem tenčí než vrstva škrobu, bylo možno zvětšit průměr "panenky", takže dochází k dalšímu zvýšení kapacity. Charakteristický je obal z ocelového plechu, omezuje-li následky při proděravění zinkového káličku korozí.

Články čtvrté generace, nazývané burelové, pracují s koncentrovaným roztokem hydroxidu draselného KOH jako elektrolytem /alkalický elektrolyt, jsou označovány značkou "Alkaline"/. Anodou je Zn prášek rozptýlený v gelu, katodou je směs grafitu a EMD. Konstrukce článku je v podstatě obrácená /obr.3/, uhlíkový roubík scela chybí. Ostatně povšimněme si již dříve uvedených základních rovnic, ve kterých se uhlík na chemické reakci

vůbec nepodílí a slouží pouze jako pólový vývod burelové elektrody.

V burelových článcích probíhá reakce EMD podle rovnice

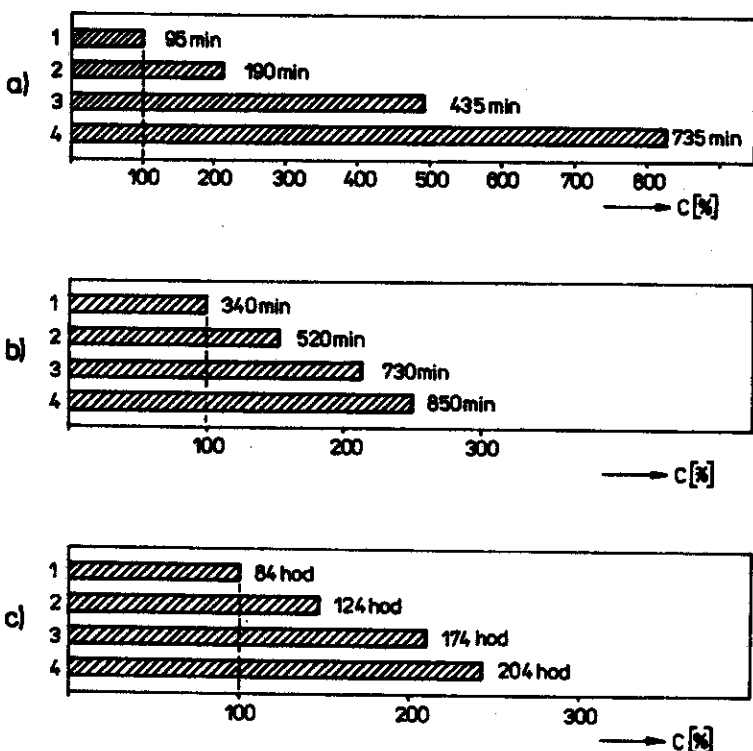


Obr.3 řez burelovým článkem "alkaline"
1 - vonitní ocelový plášť, 2 - EMD /katoda/,
3 - těsnění z plastu, 4 - vnější ocelový
plášť, 5 - vývod +, 6 - vývod -, 7 - Zn
anoda, 8 - nosič elektrolytu, 9 - ventilo-
vý kroužek, 10 - středící kroužek

Burelové články jsou velmi výhodné pro aplikace s rychlým vybíjením. Jsou též spolehlivější a mají mnohem menší akton k proděravění korozí než předcházející typy. Jejich kapacita při nepřetržitém vybíjení je oproti klasickým článkům podstatně vyšší, např. článek IR 20 /osnažení I.E.C./ má kapacitu až 10 Ah.

Srovnávací diagram jednotlivých generací článků velikosti R 20 je na obr.4.

Pro napájení amatérských radiostanic jsou vhodné následující typy suchých článků:



Obr.4 Porovnání článků R20 jednotlivých generací

a/ nepřetržité vybíjení přes rezistor $2,25 \Omega$ do 0,9 V

b/ vybíjecí 4 hod. denně přes rezistor $2,25 \Omega$ do 0,9 V

c/ každou hodinu 5 minut vybíjení po osmi hodinách denně přes rezistor $2,25 \Omega$ do 0,9 V

Udána je čistá vybíjecí doba

a/ článek typu R 6 /"tuškový"/ je vhodný pro nejmenší přenosné zařízení s výkonem do 100 mW. Články se sériově spojují

do baterie 9 V /6 ks/, 12 V /8 ks/ a často i 13,5 V /9 ks/.

b/ baterie článků typ 3R12 /"ploché"/ má obdobné využití, zatížitelnost je poněkud vyšší. Do série se spojují 2 nebo 3 ks /9 V nebo 13,5 V/.

c/ článek R14 /"malý monočlánek"/. Vůbec nejčastěji používaný článek pro zařízení s vr výkonem do 1 W, někdy s přepínáním až na 3 W vr výkonu /větší výkony nejsou u přenosných radiostanic obvyklé/.

d/ článek R20 /"velký monočlánek"/. Přes vyšší zatížitelnost nejméně používaný typ článku. Pro přenosná zařízení nevhoduje hmotností a objemem, pro eventuální napájení mobilních radiostanic s vr výkonem 10 W nestačí jeho kapacita.

Podstatně vyšší nároky lze klást na články s označením LR - burelové. Vyrábějí se i v tuzemsku, často se setkáme i s články dováženými. Jejich použití v přenosných radiostanicích lze doporučit jako nejvhodnější. Ekvivalentní typy nejsnámějších výrobů jsou uvedeny ve srovnávací tabulce 1.

Tabulka 1. Ekvivalentní typy burelových článků

ČSSR označení IEC	Varta	Mallory Duracell	Eveready Ucar
IR 6	V 1500 U	Mn 1500	E 91
IR 14	V 1400 U	Mn 1400	E 93
IR 20	V 1300 U	Mn 1300	E 95

Při používání suchých článků je třeba dbát, aby po skončení provozu byly články vždy vyjmuty. V dlouhodobě odstaveném přístroji by mohl vytékající elektrolyt způsobit větší škodu v e-

lektronických obvodech. Zmíněným opomenutím bylo již mnoho přístrojů zničeno. Nejlepší je konstrukční řešení, při kterém je prostor pro baterie hermeticky oddělen od elektrických obvodů a umístěn v nejspodnější části přístroje. Takové řešení je známé u přenosných rozhlasových přijímačů vyšší jakostní třídy. Kontaktní pružiny mají být galvanicky pokoveny kovem odolným proti korozii /alespoň nikl, ne však stříbro/.

Zmíněné zásady se nevyplatí podceňovat, škody po výteklých bateriích jsou prakticky neodstranitelné, neboť přístroj se si ce dá opravit, ale v dalším provozu je obvykle velmi nespolehlivý.

1.3 SEKUNDÁRNÍ ČLÁNKY - AKUMULÁTORY

Jak již bylo uvedeno, vyznačují se tyto články vratnou chemickou reakcí. Na elektrochemické reakci, nazývané též iontovou výměnou, se nepodílejí přímo kovy, ze kterých jsou zhotoveny elektrody, ale sloučeniny těchto kovů. Podle použitého elektrolytu dělíme sekundární články na akumulátory kyselé a alkalické.

V podstatě jediným představitelem článků s kyselým elektrolytem je olověný akumulátor /Planté r.1860/.

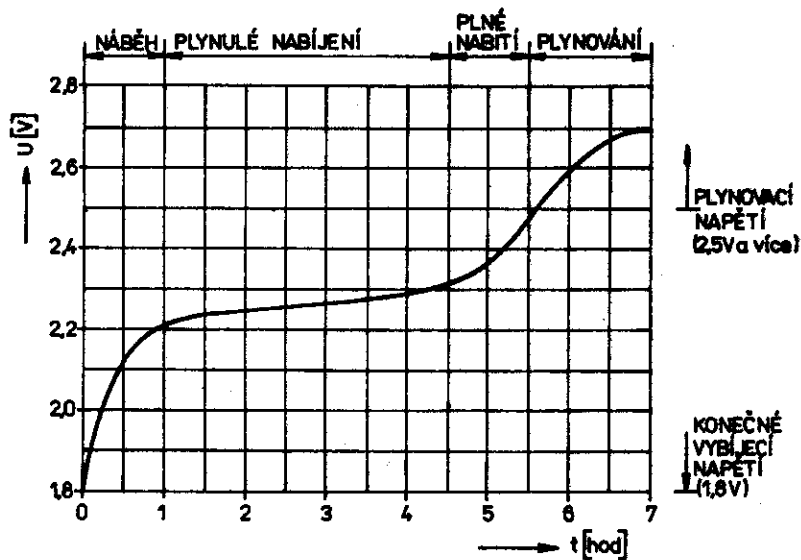
Ze skupiny alkalických článků jmenujme především akumulátor niklakadmiový /NiCd, Jungner r.1901/, nikloceliový, označovaný též zelezoniklový /NiFe, Edison r.1901/ a střibrosírový /AgZn, André r.1941/.

Ostatní typy akumulátorů nemají z hlediska radicomstérského využití praktický význam.

1.3.1 Základní pojmy z techniky akumulátorů

Pro usnadnění dalšího výkladu je na místě uvést několik základních pojmu.

Nabíjecí charakteristika /obr.5/ vyjadřuje změnu sverkového napětí článku v průběhu nabíjení. Uvedená charakteristika je typická pro olověný akumulátor nabíjený konstantním proudem /nabíjecí charakteristika typu I/. Na charakteristice rozlišujeme několik oblastí:



Obr.5 Nabíjecí charakteristika Pb akumulátoru

a/ náběh, kdy napětí článku rychle stoupá z tsv. konečného vybíjecího napětí 1,8 V na hodnotu asi 2,2 V, dochází k vyrovnaní a odplynování elektrod.

b/ plynulé nabíjení, napětí stoupá lineárně, probíhá hlavní chemická reakce.

c/ plné nabití, napětí vzroste rychle na hodnotu větší než 2,5 V, vyvijí se vodík, akumulátor začíná plynovat.

d/ plynování, vzdálost napětí se zpomaluje, akumulátor "varí" doslova, protože prudce roste teplota elektrolytu, vyvijí se vodní plyn $H_2 + O_2$. Při dlouhém přebíjení dochází k poškození kladných elektrod.

Proto se často používá nabíjecí charakteristika U /nabíjení konstantním napětím/, u které při pokračujícím nabíjení nabíjecí proud klesá a po plném nabití má již tak nízkou hodnotu, že prodloužení nabíjecí doby nemůže elektrody poškodit. Při náběhu je ovšem proud značný a nabíječ musí mít odpovídající výkonovou rezervu. Charakteristika U je vhodná např. pro trvalé dobíjení staničních akumulátorů /starý výraz "puťrování"/. Optimální hodnota napětí pro olověné akumulátory je 2,23 V na jeden článek a je ji nutno udržovat s vysokou přesností včetně eliminace výkyvů síťového napěti. Výsledkem této péče je několikanásobné prodloužení životnosti akumulátorů.

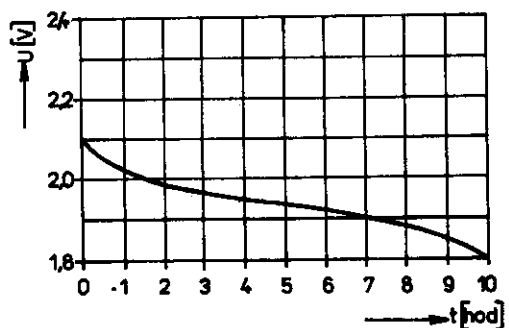
Kombinací obou charakteristik je charakteristika W. Jde v podstatě o nabíjení měkkým zdrojem napětí. Nabíječe jsou jednoduché a levné. Potřebného efektu můžeme dosáhnout např. tím, že primární vinutí transformátoru připojujeme na síť přes sériový kondenzátor vhodné kapacity. Někdy se těž můžeme setkat s transformátorem, který je navinut hliníkovým vodičem.

Alkalické akumulátory se od olověných liší především jinými hodnotami napětí v různých fázích nabíjení, obecně jsou tyto změny napětí méně výrazné.

Vybíjecí charakteristika /obr.6/ je pro všechny typy akumulátorů podobná, liší se opět pouze typické napětí. Výjimkou je

pouze stříbrozinkový akumulátor, jehož charakteristiky mají zřetelně vyjádřeny dva stupně.

Kapacita akumulátoru C_{Ah} /ampérhodinová/ je jedním z hlavních parametrů, od kterého odvozujeme další údaje. Jak již bylo



Obr.6 Vybijecí charakteristika Pb akumulátoru

uváděno, že kapacita C_{Ah} součinem proudu a času. Kapacita 10 Ah tedy znamená, že z akumulátoru můžeme odebírat proud 1 A po dobu 10 h, nebo také 10 A po dobu jedné hodiny.

Poznámka: Skutečná kapacita akumulátoru závisí též na způsobu provozu a především na teplotě. Proto se v některých publikacích můžeme setkat s tím, že ampérhodinová kapacita je označována jako kapacita jmenovitá C_{jm} . Zpravidla se pro přehlednost u označení jmenovité Ah kapacity přímo uvádí index vybijecí doby, za kterou se jmenovité kapacity dosáhne /např. C_5 , C_{10} , C_{20} /. Je-li tedy jmenovitá kapacita akumulátoru C_{10} při pokojové teplotě 22° C rovna 1000 Ah, lze akumulátor vybíjet proudem C_{jm} : 10 = 100 A po dobu 10 hodin. Při C_5 je tentýž akumulátor možno vybíjet proudem C_{jm} : 5 = 200 A po dobu 5 hodin. To je

zcela v souladu se vzorcem $C = I \cdot t$. t. Při nižších teplotách však může být skutečná kapacita nižší, např. pro výše uvedený příklad můžeme psát, že pro $-20^\circ C$ je kapacita $C_5 = 500 Ah$, tedy $50\% C_{jm}$.

S tak vysokými intenzitami proudů, které jsou v tomto případě uvedeny, se však v běžné amatérské praxi nesetkáme. Vybijecí proud je závislý na typu akumulátoru, obecně platí, že olověné akumulátory lze bez nebezpečí poškození vybijet daleko vyššími proudy než běžné akumulátory alkalicke. Pro daný typ akumulátoru je proto předepsán

maximální vybijecí proud I_n , kde velikost indexu n označuje podíl jmenovité kapacity. Např. proud I_5 znamená, že povolený proud je roven jedné pětině jmenovité kapacity akumulátoru. V případě akumulátoru 10 Ah nesmí tedy vybijecí proud I_5 být větší než $10 : 5$, tj. $2 A$. Obdobně definujeme

normální nabíjecí proud. Nabíjecí proud I_{10} tedy znamená, že akumulátor nabijíme proudem rovným jedné desetině jmenovité ampérhodinové kapacity C_{Ah} . Pro příklad akumulátoru 10 Ah je tedy nabíjecí proud rovný $1 A / 10 Ah : 10/$. Obdobně lze definovat proud pro trvalé dobíjení, udržovací dobíjení apod.

Akumulátor můžeme považovat za stroj, pracující s jistou danou účinností. Proto vždy do akumulátoru musíme o něco více energie dodat, než můžeme odebrat. I to je možné vyjádřit pomocí ampérhodin. Např. zmíněný akumulátor 10 Ah musíme nabíjet proudem I_{10} po dobu 14 hodin, dodali jsme tedy $14 h \cdot 1 A = 14 Ah$.

$$\begin{aligned} \text{Účinnost akumulátoru } \eta_{Ah} & \text{ je tedy dána} \\ \eta_{Ah} & = \frac{\text{Ah vybitých}}{\text{Ah nabitych}} \end{aligned}$$

a je vždy menší než jedna. Násobením koeficientem 100 dostáváme dělavnost v %.

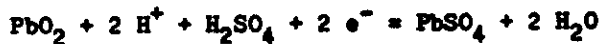
Nabíjecí činitel je převrácenou hodnotou dělavnosti a je z hlediska udržby akumulátoru velice praktický, protože většinou při běžném tsv. normálním nabíjení používáme konstantní proud I_{10} . Stačí tedy násobit proud I_{10} nabíjecím činitelem, čímž dostáváme normální nabíjecí čas, který je potřebný k plnému nabití akumulátoru. Se stárnutím akumulátoru se nabíjecí čas prodlužuje /klesá dělavnost/.

Dále výrobci udávají

počet pracovních cyklů /jeden cyklus = nabítí + vybití/ pro správně udržovaný akumulátor, údaj o semovybijení a další údaje.

1.3.2 Olověný akumulátor, princip a konstrukce

Základem olověného akumulátoru jsou dvě desky - elektrody, obě zhotovené z olova a poněřené do kyseliny sírové H_2SO_4 o předepsané hustotě. Celkem je umístěn do nádoby z materiálu, odolávajícího účinkům kyseliny. Kladná elektroda /červenohnědá/ je pokryta vrstvou oxida olovičitého PbO_2 /minium, sufix/, záporná elektroda /šedé barvy/ houbovitým olovem /klejt/. Při vybijení probíhá na kladné elektrodě reakce:



Na záporné elektrodě probíhá reakce

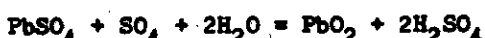


Sečtením rovnic získáme rovnici vybijení



Při vybijení se tedy na obou deskách vytváří síran olovnatý a vylučováním vody klesá hustota elektrolytu. Tím klesá i svorkové napětí akumulátoru v klidu až na povolené vybijecí napětí 1,8 V na článek.

Při nabíjení probíhá opačný chemický děj než při vybijení.
Na kladné elektrodě:



Na záporné elektrodě:



Sečtením obou rovnic získáme rovnici nabíjení:



Porovnání této rovnice s rovnicí vybijení dokazuje vratnost chemického děje. Při nabíjení se síran olova rozpouští, voda se voda a hustota elektrolytu stoupá. Jako maximální klidové napětí nabitého akumulátoru se uvádí hodnota 2,1 V/čl. Pro pokojovou teplotu 22° C platí pro hustotu σ a klidové napětí článku jednoduchý vztah

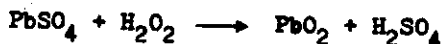
$$U_{\text{čl.}} = \sigma + 0,84$$

Hustotě $1,28 \text{ kg} \cdot \text{dm}^{-3}$ bude tedy odpovídat 2,12 V, hustotě $1,20 \text{ kg} \cdot \text{dm}^{-3}$ napětí 2,04 V. Podle této poučky by tedy konečnému vybijecímu napětí 1,8 V odpovídala hustota $0,96 \text{ kg} \cdot \text{dm}^{-3}$, což se zdá být na první pohled protismyslné. Musíme si však uvědomit, že hustota elektrolytu v celém prostoru akumulátoru není při jeho provozu stejná. Nejnižší hustota je mezi deskami

a především v pórech desek, v prostoru nad deskami i pod nimi je elektrolyt hustší. Proto se na hustoměru pro automobilisty uvádí jako nejnižší hodnota $\sigma = 1,14 \text{ kg} \cdot \text{dm}^{-3}$, zahrnující nezbytnou rezervu.

V radicemáterské praxi se nejvíce setkáme se startovacími olověnými akumulátory. Mají elektrody ve formě mřížek, vymazaných aktivní hmotou. Výhodou je velký efektivní povrch /značná poréznost/, nevýhodou menší mechanická pevnost, proto časem dochází k vypadávání aktivní hmoty. Dalším negativním jevem je sulfatace elektrod /ucpávání pórů elektrod síranem olovnatým PbSO_4 /. Proces sulfatace se umocňuje ponecháním akumulátoru ve vybitém stavu nebo tím, že zapomeneme kontrolovat hladinu elektrolytu, větší část desek zůstane vynořena a uschně.

Při normálním provozu je síran olovnatý při nabíjení rozpuštěn přítomnou vodou, to však není možné, jestliže v deskách zatvrde. Pak nezbývá než pokusit se o desulfataci, při které elektrolyt nahradíme destilovanou vodou a skumulátor velmi dlouho, až týden, nabijíme malým proudem $I = 0,02 \text{ Cjm} / \text{v A}$. Prostředek Desulfator působí především tím způsobem, že zatvrdlé desky změkčí, ale i zde je nejdůležitější dlouhé nabíjení malým proudem. Obdobně působí i nedávno znova objevená metoda regenerace olověných akumulátorů peroxidem vodíku, která si zasluzuje podrobnější popis a vysvětlení. Princip metody spočívá v tom, že se do aktivního prostoru mezi desky akumulátoru, nejlépe pomocí injekční stříkačky pro jedno použití, vpraví několik cm^3 peroxidu vodíku o koncentraci 25 %. Peroxid reaguje se sulfátem /síranem olovnatým PbSO_4 / podle rovnice



čili chemicky vzniká pouze to, co v akumulátoru má být a co v něm bylo na počátku. Protože peroxid vodíku je látka chemicky velice aktivní /až agresivní/, proniká účinně do pórů desek, vyplovuje zatvrdlé mikročástice sulfátu a tím světluje aktivní povrch desek. Výsledkem je zvýšení stávající skutečné kapacity akumulátoru. Kombinujeme-li tuto metodu s regeneračním nabíjením, můžeme skutečně životnost akumulátoru prodloužit. Nejdovšem o nic "zázračného", metoda posbývá účinnosti při mechanickém poškození elektrod, ke kterému můžeme počítat vypadávání aktivní hmoty, narušení nosných mřížek korozí, případně skraty mezi elektrodami.

Při jakékoli manipulaci s akumulátory je třeba dbát na to, aby hustota elektrolytu byla sice dostatečná, nikoli však nadmerná. Proto také nikdy nedoléváme akumulátory kyselinou, i když zjistíme pokles hustoty, ale vždy jen destilovanou vodou. Ze normálních okolností z akumulátoru ubývá /především odpařováním/ pouze voda, elektrolyt pak ovšem houstne a proces sulfatace se při hustém elektrolytu zrychluje. Z těchto důvodů se např. staniční akumulátory plní elektrolytem o hustotě $1,22 \text{ kg} \cdot \text{dm}^{-3}$ /oproti $1,28 \text{ kg} \cdot \text{dm}^{-3}$ u akumulátorů startovacích/. To má příznivý vliv na prodloužení jejich životnosti.

Moderní staniční akumulátory mají též kladné elektrody s tsv. trubkovou konstrukcí, omezující vypadávání aktivní hmoty.

Základní vlastnosti olověných startovacích akumulátorů:

Jmenovité napětí: 2 V/článek

Hustota elektrolytu při plnění: $1,28 \text{ kg} \cdot \text{dm}^{-3}$

Nabíjecí proud: I_{10}

Účinnost: 0,75 až 0,85

Nabíjecí činitel: 1,2

Normální nabíjecí čas: 12 až 13 hodin

Vybíjecí proud: ve špičkách několikanásobek C₁₀.

Při provozu olověného akumulátoru se vyvážujeme znečištění elektrolytu cizími látkami /svláště kovy/, a věnujeme pozornost pravidelnému dobíjení při nízkých teplotách, kdy se zrychluje samovolné vybíjení. I u olověného akumulátoru může dojít k tzv. "přepólování" některého článku, není to však jev zcela typický. Přes řadu výhod lze považovat olověné akumulátory za poměrně choulostivé, takže nezbytné péče se nevyhneme.

V amatérské praxi můžeme předpokládat zejména používání olověných startovacích baterií naší výroby. Nejběžnější typy jsou uvedeny v tabulce 2.

Tabulka 2. Startovací olověné akumulátory Akuma

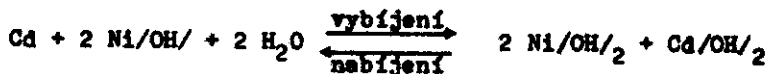
Typ	Jmenovité napětí [V]	Jmenovitá kapacita C ₂₀ [Ah]	Rozměry [mm]	Hmotnost s elektrolytem [kg]
3 N 75	6	75	220x170x225	20
3 T 150	6	150	330x170x235	34
6 N 37	12	37	209x166x215	16,4
6 N 50	12	50	260x168x217	20
6 N 88	12	88	435x170x225	37
6 N 100	12	100	483x170x225	41
6 T 125	12	125	196x515x238	49
6 T 150	12	150	236x515x238	62
6 T 175	12	175	268x515x241	75

1.3.3 Alkalické akumulátory

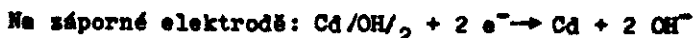
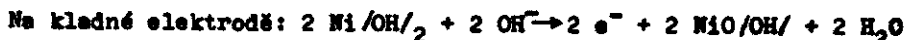
Do této skupiny zařazujeme akumulátory obsahující jako elektrolyt vodný roztok hydroxidu draselného KOH čistý nebo s příslušnými. Jsou to především akumulátory nikl-kadmiové NiCd, dále niklocelové NiFe a stříbro-zinkové AgZn. Chemické reakce probíhající v alkalických akumulátořích jsou zcela odlišné než u akumulátorů olověných. Elektrolyt alkalického akumulátoru se přímo nedělají chemických reakcí s aktivními materiály elektrod a proto se během nabíjení a vybíjení jeho hustota téměř nemění.

1.3.4 Nikl-kadmiový článek

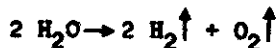
Přesto, že zmíněný článek je označen názvy čistých kovů /Ni - nikl, Cd - kadmium/, na vlastní elektrochemické reakci se přímo podílejí jejich sloučeniny, jmenovitě hydroxidy. Elektrochemická reakce probíhá na principu iontové výměny a lze ji popsat stechiometrickou rovnicí



Průběh dílčích chemických reakcí na elektrodách při nabíjení můžeme znázornit následovně:



Při přebíjení k tomu přistupuje i elektrolyza vody podle rovnice



Na kladných elektrodách se uvolňuje kyslík, na záporných elektrodách vodík.

Podle konstrukce rozlišujeme články nálevné a hermeticky uzavřené /plynotěsné/.

Nálevné články se vyznačují plochými elektrodami ve tvaru desek. Nejběžnější jsou články s tzv. kapsovými elektrodami, jejichž životnost je 1500 až 2500 cyklů. Vyšší životnost /2500 až 4000 cyklů/ mají články s trubkovými kladnými elektrodami. Akumulátory se sintrovanými elektrodami se vyznačují podstatně vyšší měrnou energií na jednotku objemu i hmotnosti, jejichž životnost je až 3000 cyklů. Všechny typy nálevných akumulátorů NiCd jsou vhodné pro staniční provoz s trvalým dobíjením, kdy jejich životnost může dosáhnout 10 až 20 let. Všeobecně můžeme nálevné akumulátory NiCd označit jako velmi odolné a poměrně nenáročné na obsluhu. Často lze článek provozovat tak dlouho, dokud nedojde k proděravění článkové nádoby korozí. Oproti tomu hermeticky uzavřené /plynotěsné/ akumulátory mají životnost podstatně kratší a vyžadují větší péči.

Životnost nálevných akumulátorů NiCd se skrakuje:

- provozem za vyšších teplot /+ 40°C a výše/
- trvalým nedostatečným nabíjením
- soustavným nebo častým hlubokým vybijením

Nejdůležitější elektrické parametry nálevných článků NiCd:

Jmenovité napětí: 1,2 V/článek

Konečné vybijecí napětí: 1,0 V/čl. pro kapsové a trubkové elektrodové systémy

1,1 V/čl. sintrované elektrody

Hustota elektrolytu při plnění: $1,20 \text{ kg} \cdot \text{dm}^{-3}$

Nabíjecí proud: I_{10}

Účinnost: 0,73

Nabíjecí činitel: 1,5

Vybíjecí proud: typicky až I_5 , jinak dle údajů výrobce

Určitou zvláštností alkalických akumulátorů je, že při přerušovaném vybíjení stoupá svorkové napětí na téměř stejnou výši, jakou měl akumulátor v klidu před vybíjením podobně jako u suchých článků. Proto při přerušovaném vybíjení nemá být z akumulátoru vybíjena vyšší Ah kapacita, než jaké akumulátor dosahuje při nepřerušovaném vybíjení konstantním proudem do předepsaného konečného vybíjecího napětí.

Nabíjecí napětí má podobný průběh jako u olověného akumulátoru /obr.5/, změny při náběhu a plynování jsou ale méně výrazné a povlovnější. Plynovací napětí akumulátoru NiCd je 1,55 až 1,6 V na článek.

Kapacita NiCd akumulátorů závisí na velikosti a provedení kladných elektrod podobně jako u olověného akumulátoru. Protože se však elektrolyt neúčastní chemických reakcí a nemění se tudíž jeho koncentrace, je kapacita článků NiCd méně závislá na teplotě.

Kapacita nových článků po neplnění elektrolytem a prvním nabíti je nízká. Je proto nutné tzv. "formování" alespoň ve třech cyklech. Totéž platí pro akumulátory, které byly ponechány delší dobu v nečinnosti. Ve srovnání s olověnými akumulátory má nečinnost nálevného akumulátoru NiCd poměrně malý vliv na jeho životnost. U hermeticky uzavřených článků to však neplatí, jak bude uvedeno dále.

U nálevných článků může docházet k postupnému poklesu kapacity i znečištěním elektrolytu. Vyloučíme-li vliv různých kovů, zbývá především reakce hydroxidu draselného se vzdušným oxidem

uhličitým. Vznikající uhličitan draselný K_2CO_3 /karbonát/ znehodnocuje elektrolyt, proto je důležité dbát na kvalitu průvodného těsnění šroubovacích zátek. Doporučuje se též každoročně úplná výměna elektrolytu. Hustota elektrolytu je předepsána 1,20 kg . dm⁻³ pro provozní teploty od -15 do +45° C, ale pro nižší teploty než -15° C se doporučuje vyšší hustota 1,26 až 1,28 kg . dm⁻³. Přidání 20 g hydroxidu lithného LiOH do 1 dm³ elektrolytu má příznivý vliv na životnost elektrodotových desek. Při běžném provozu se NiCd akumulátor dolévá pouze destilovanou vodou stejně jako akumulátor olověný. Zátky, pólové vývody a spojky včetně článkových nádob udržujeme v čistotě a suché. Velmi dobře poslouží lehký nástřik konzervačním olejem Konkor 101.

Nabíjení akumulátorů NiCd

Normální nabíjení se provádí konstantním proudem I_{10} . Protože plynování při plném nabití je méně výrazné než u akumulátorů olověných, je výhodné pro odhad nabíjecí doby použít nabíjecí činitel. Při nabíjení zcela vybitého akumulátoru má hodnotu 1,5, nabíjíme tedy proudem I_{10} po dobu 15 hodin. Neznáme-li stupeň vybití akumulátoru, nebo je-li nabíjení prováděno jinými nabíjecími charakteristikami, můžeme na plné nabití usuzovat jen podle ukončeného vzestupu napětí, obecně 1,55 až 1,6 V/čl. Jestliže tedy napětí nabíjených akumulátorů dosáhlo své nejvyšší hodnoty a po dobu alespoň jedné hodiny se již nemění, lze považovat akumulátory za nabité. Jelikož krátkodobé přebíjení normálním nabíjecím proudem I_{10} nálevně ani plynотěsné akumulátory nepoškozuje, je lépe nabíjení poněkud prodloužit, než baterie nabíjet nedostatečně.

Vybíjení akumulátorů NiCd

Intensita vybíjecích proudu závisí na konstrukci elektrod a vnitřním elektrickém odporu akumulátoru. Vnitřní elektrický odpor pro akumulátory s kladnými trubkovými elektrodami dosahuje hodnoty přibližně $\frac{1,75}{C_{jm}}$ Ω, u akumulátorů s kapsovými elektrodami se může pohybovat v rozsahu $\frac{1,5}{C_{jm}}$ až $\frac{1,25}{C_{jm}}$ Ω. V průměru je tedy vnitřní elektrický odpor větší než u olověného akumulátoru. Srovnatelný vnitřní odpor vykazují pouze akumulátory se sintrovanými elektrodami $\frac{0,3}{C_{jm}}$ až $\frac{0,15}{C_{jm}}$ Ω. Vybíjení akumulátorů NiCd velkými /téměř skratovými/ proudy není vhodné - k tomu jsou určeny startovací olověné akumulátory. Při určení maximálního vybíjecího proudu se proto vždy řídíme údajem výrobce a tím, že teplota elektrolytu nemá při vybíjení překročit $+40^{\circ}\text{C}$.

1.3.5 Československé nálevné akumulátory FERAK

Podle normy ČSN 36 43 53 jsou označovány písmeny NK /nikl, kadmium/, třetí písmeno je označení použití, a to:

T - trakční, O - osvětlovací, N - napájecí, S - startovací, a D - dální.

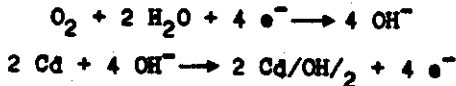
Pokud je použito čtvrté písmeno U, označuje článekovou nádobu z umělé hmoty /např. polystyrén/. Číselné označení za písmeny udává jmenovitou ampérhodinovou kapacitu akumulátoru. Číslo před písmeny udává počet článek akumulátorové baterie.

Označení 2 NKNU 24 tedy znamená napájecí dvoučlánekový nikl-kadmiový akumulátor s nádobou z umělé hmoty a kapacitou 24 Ah. Popsané označení je natolik vystížné, že není třeba uvádět podrobnou tabulku u nás vyráběných typů NiCd nálevných akumulátorů.

1.3.6 Hermeticky uzavřené /plynotěsné/ články NiCd

Elektrolyzou vody obsažené v elektrolytu akumulátoru se při nabíjení vyvíjí plynný kyslík a vodík. Aby bylo možné články hermetizovat, musí být zajištěno potlačení vývoje plynu a tím omezen vzestup tlaku uvnitř článku. Hmota záporné elektrody je oproti kladné elektrodě předimenzována, takže lze u ní dosáhnout stupně nabítí jen 0,6 při plně /na 100% nabité záporné elektrodě. Kyslík se vyvíjí na kladné elektrodě při dosažení stupně nabítí asi 0,6. Rychlý vývoj vodíku je charakterizován stupněm nabítí 0,95 a vztahem napětí z 1,52 V na asi 1,63 V.

Kyslík vznikající na kladné elektrodě je transportován plynnou fází /ale i elektrolytem/ na elektrodu zápornou. Protože hmota záporné elektrody /kadmiové/ je zvětšena, vzniká reakcí kyslíku hydroxid kademnatý a plynný kyslík je elektrodou chemicky vásán podle rovnice:



Tím je iontová bilance uvnitř článku vyrovnaná. Rychlosť re kombinace kyslíku podle uvedených rovnic je však omezena a proto nemůže být překračovány nabíjecí proudy předepsané výrobcem, aby nedošlo k poškození článků.

Podle konstrukce rozděláváme plynотěsné články s elektrodami ze lisované aktívni hmoty, nebo s elektrodami sintrovanými. U knoflíkových článků mají elektrody tvar tabletka, separátorem je tenká polyamidová tkanina. Elektrody i separátor jsou nasyceny elektrolytem. Akumulátory se sintrovanými elektrodami mají v porovnání s akumulátory s lisovanými aktívni hmotami elek-

trod při stejném objemu přibližně dvojnásobnou kapacitu a velmi nízký elektrický vnitřní odpor. To umožňuje vybijení i pulsními proudy dosahujícími desetinásobku, u speciálních konstrukcí až čtyřicetinásobku jejich jmenovité kapacity. Proto je nutné dbát při manipulaci s těmito články zvýšené opatrnosti, protože vysoké zkratové proudy mohou snadno poškodit zařízení, ve kterém jsou akumulátory zapojeny.

Pro standardní plynnotěsné články s lisovanými elektrodami platí tato všeobecná provozní doporučení:

Nabijecí proud I_{10} : 0,1 Cjm, tj. o hodnotě jedné desetiny jmenovité kapacity akumulátoru

Maximální vybijecí proud I_5 : 0,2 Cjm, tedy jedna pětina jmenovité kapacity

Samovybijení po 28 dnech: $\leq 35\%$ Cjm

Odolnost proti přebití: 144 hodin proudem I_{10}

Normální nabijecí čas: 14 hodin proudem I_{10}

Nabijecí činitel: 1,4

Počet cyklů: max. 500

Na základě těchto údajů se pokusme rozebrat některé režimy provozu plynnotěsného akumulátoru NiCd a sjistit, jak je možné dosáhnout maximálního prodloužení životnosti.

Přebijení akumulátoru

Plně nabité článek vykazuje při připojeném nabiječi nepěti 1,55 V. Předpokládá se nabíjení konstantním proudem I_{10} po určenou dobu 14 hodin. Většina informací o plynnotěsných akumulátořech zdůrazňuje nadměrně škodlivost jejich přebijení. Uvědomíme-li si, že odolnost proti přebití je zaručována bezpečnost-

ním koeficientem 10 /144 hodin proti 14 hodinám/, je zřejmé, že účinek přebití je přečeňován. Po elektrochemické stránce je přebijení provázeno vývojem vodíku, který je za normálních okolností stále pevně vázán v článku.

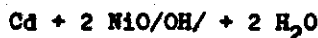
Teprvé extrémním vývojem vodíku může dojít k nadmutí článku, porušení jeho těsnosti, případně explozi. Praxe ukazuje, že při zachování nabíjecího proudu I_{10} u dobrého článku k takovému případu nemůže dojít ani při snažně prodloužené nabíjecí době. Něco jiného je ovšem tzn. "zrychlené nabíjení" článků nadměrnými proudy. Článek potom "vří" nejen chemicky, ale i doslovem, je tepelně přetížen a jeho destrukce je otázkou přiměřeného času.

Další častou chybou je pájení článků přímo na víčka nebo pouzdra. Články jsou utěsněny obvykle polyamidovou fólií, která se vyšší teplotou při pájení snadno může porušit.

Za normálních podmínek není mírné přebijení článků na škodu a jeho význam netřeba přečeňovat.

Extrémní vybití

Znehodnocení článku nadměrným vybijením je v praxi častější, než se na první pohled zdá. Obdobný účinek má i dlouhodobé po-nechání článku ve vybitém stavu. Vybitý článek je charakterizován levou stranou stechiometrické rovnice.



Cisté kadmium patří mezi kovy, krystalující v heptagonálně /hexagonálně/ soustavě. Na povrchu kladné elektrody se vytvářející krystalky kadmia jsou méně elektrochemicky aktivní. Volné atomy kadmia, rozptýlené v elektrolytu, na těchto zárodečných

krystalcích dále narůstají ve formě jehliček či "voousů". Pro-
růstají separátorem a vyvolávají postupně se světěující svodo-
vý proud, kterým je článek samovolně vybijen. Nastává řetězová
reakce a další krystalizace kadmia, až rostoucí krystalky způ-
sobí mezi elektrodami dokonalý skrat. Jev je označován jako
vytváření dendritických struktur kadmia. Postup této "kadmiové
nemoci" je podporován opakováním hlubokým vybijením. Pokud člá-
nek nevykazuje úplný skrat, jsou kadmiové dendrity při řádném
nabijení částečně rospouštěny a postup stárnutí zpomalován.

V zahraniční literatuře byly popsány léčebné ktry, spočívající v rozrušování krystalků velkými proudovými impulsy /Šoky/ o hodnotě 10 . Cjí a následném formování článků. Praktické ověřování této metody ukázalo, že lze zachránit asi 50% poškozených článků, a to jen na určitou dobu.

Dobu života řádného článku však nelze prodlužovat do nekonečna. Chceme-li dosáhnout maximálního počtu pracovních cyklů, je nutná především prevence, spočívající v tom, že kontrolujeme napětí provozovaných článků, které nesmí při vybijení klesnout pod 1,05 V/článek.

Stárnutí článků má za následek pokles skutečné kapacity a proti jmenovité. Při dlouhodobém skladování článků se doporučuje po pololetním skladování provést jedno normální čtrnáctihodinové nabíjení proudem I_{10} , v případě čtvrtletního intervalu pak nabíjení sedmihodinové.

1.3.7 Spojování plynnotěsných článků do baterií

Sériové spojování článků do baterií je z důvodů ziskání vyššího napájecího napětí s pravidla nesbytné, nikoli však bez problémů.

V zásadě se nedoporučuje spojování více než deseti článků /baterie 12 V/ a překračování vybijecího proudu I_5 /jedna pětina jmenovité kapacity Cjm/.

Zatímco u nové baterie předpokládáme, že všechny články mají zcela shodné charakteristiky, může po určité době provozu kapacita některých článků poklesnout. U desetičlánkové baterie ještě lze předčasné vybijení některého článku zjistit měřením jeho celkového svorkového napětí. Toto však nepřichází v úvahu u větších baterií, protože napětí na jednotlivých článcích kolísá podle zatížení a vybijecí doby v rozmezí 1,1 až 1,35 V.

U každé baterie musí některý článek "odejít" jako první. Všimněme si nyní, jak působí pokles kapacity prvního slabšího článku na celou baterii. Při plném vybijení baterie je slabší článek vybijen klouběji než ostatní a rychleji narůstá i jeho vnitřní odpor. Důsledkem hlubokého vybijení je následující přepólování článku protékačícím vybijecím proudem ostatních článků, které výrazně urychlují postup již zmíněné kadmiové "nemoci". Postižený článek nemůže být kvůli tomu již nikdy plně nabít a zvýšení jeho vnitřního odporu vede ke snížení nejen vybijecího, ale i nabijecího proudu celé baterie. Tím se stane, že po nepříliš dlouhé době k prvnímu postiženému článku přibude další. Postup stárnutí článků můžeme poněkud zpomalit, zařadíme-li po každém desátém cyklu tsv. vyrovnavací nabíjení velmi malým proudem I_{20} až I_{50} po dobu několika dnů až jednoho týdne. Dále může vliv přepólování na stárnutí článků poněkud omezit řetěz paralelních diod přiměřeně proudově dimenzovaných, připojených v nepropustném směru. Diody omezí antipolarizační napětí na článku na hodnotu 0,65 V. Vhodnější se jeví diody germaniové

čí Schottky, je však menší výběr, protože musí snést požadovaný vybíjecí proud. Problém stárnutí článků však diody neřeší.

V profesionální praxi je obvyklá výměna celé baterie. Ekonomická nevýhodnost je pouze zdrobnitelná, protože rezolutní výměna je méně nákladná než manipulace s jednotlivými články. Nezanebatelné je i hledisko spolehlivosti.

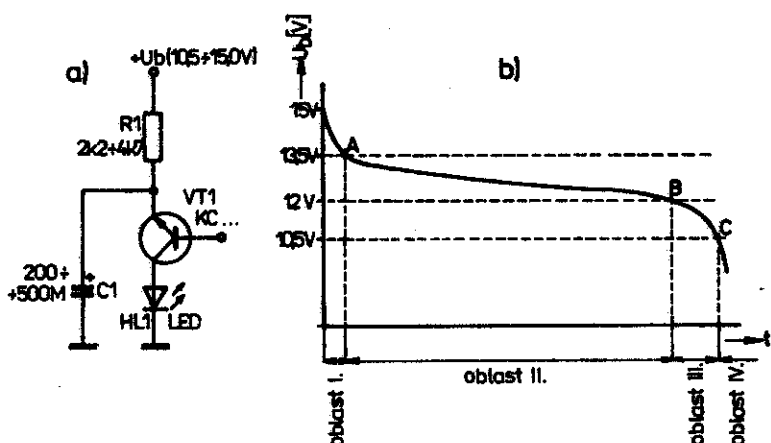
Amatér je veden spíše vrozenou šetrností, proto se snaží poštězené články zachránit. Proti tomuto postupu nelze nic namítat, jen je nutné vžas slabnoucí článek vyjmout, pomocí láčekné kůry znova individuálně přeformovat, vrátit na původní místo a - čekat na další článek v pořadí. Praktická konstrukce pouzdra baterií musí tedy umožňovat snadný přístup a výměnu jednotlivých článků. Celkové využití baterie lze tak skutečně prodloužit. Nicméně dříve či později se intervaly začnou rychle zkracovat a situace se stane neúnosnou. To je okamžik výměny celé baterie, nikdy nekombinujeme nové články se starými.

Na základě uvedených skutečností se tedy pokusme vytknout nejdůležitější zásady pro provoz baterie s deseti plynотěsnými články NiCd:

1. Nabíjení provádět nabíječem - zdrojem konstantního proudu I_{10} po dobu 14 hodin. Tuto dobu lze zajistit i vhodným časovačem. Plné nabité je charakterizováno svorkovým napětím 15 V; toho lze při částečném dobíjení využít pro odpojení nabíječe. Není to však nutné, protože při dodržení předepsaného nabíjecího proudu není ani další úplně čtrnáctihodinové přebíjení pro články nebezpečné /viz všeobecná provozní doporučení/.

2. Již jediné vybití baterie pod dovolenou mez 10,5 V je škodlivé a zahajuje proces stárnutí nejslabšího článku. Toto

tvrzení se zdá sice poněkud přehnané, zahrnuje však nesbytný bezpečnostní faktor. Mezi vybití je tedy vhodné alespoň jednoznačně indikovat přímo v napájeném přístroji.



Obr.7 Indikátor stavu baterie
a/ zapojení, b/ vybijecí křivka

K tomu se velmi dobře hodí zapojení s relaxačním oscilátorem podle obr.7. Funkce indikátoru je následující:

Při plně nabité baterii a při připojeném nabíječi bliká LED kmitočtem několika /5 až 10/ Hz. Odpojením nabíječe /oblast I./ poklesne svorkové napětí rychle na 13,5 V /bod A, začátek vybijecí křivky/ a kmitočet oscilací se poněkud sníží, asi na 2 Hz. Prakticky využitelná část vybijecí křivky mezi body A a B je u dobré baterie velice povlovná /oblast II/. Tomu odpovídá posvolné snížování kmitočtu oscilací na hodnotu asi 1 Hz v bodě B. V oblasti III. od napětí asi 11,5 V dochází k rychlému zlomu vybijecí charakteristiky. Kmitočet oscilací rychle klesá na

hodnotu asi 0,2 Hz, až v bodě C /10,5 V/ oscilace úplně ustanou. Konec blikání LED znamená vypnutí zařízení a neprodlené nabíjení. Jakékoli další hluboké vybijení výrazně urychluje stárnutí článků.

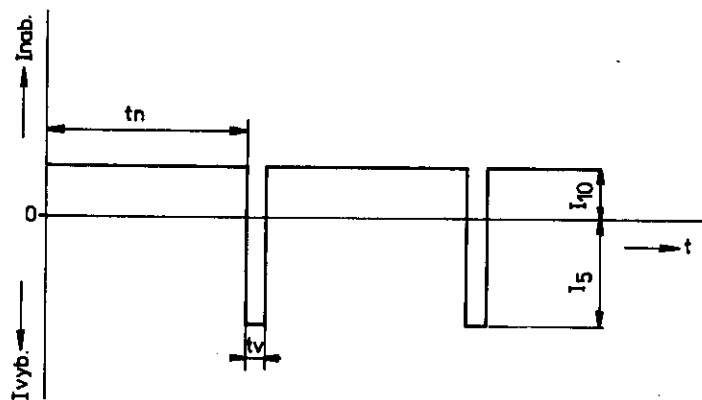
Podrobný popis průběhu vybijecí křivky a vlivu napětí na kmitočet oscilací je potřebný proto, že v jednotlivých případech půjde vždy o individuální nastavení. Nejde pouze o výběr vhodné hodnoty rezistoru R_1 či kondenzátoru C_2 , ale i o výběr vhodného tranzistoru. Oscilační charakteristiky se i u tranzistorů stejného typu liší - tím je právě dána nutnost individuálního nastavení. Hodí se všechny tranzistory typu KC... nebo BC..., z typů NDR byly ověřeny SF 136 a SF 137. Při nastavování je výhodné použít číslicový voltmetr - pečlivost se vyplatí.

Popsaná indikace je pro daný účel daleko přesnější než analogový údaj jakéhokoli ručkového měřidla, ovšem odhad stupně vybití baterie bude vždy otázkou snyku. Ty, které s relaxačním oscilátorem přicházejí do styku poprvé, je třeba upozornit, že v zapojení na obr.7 není chyba. Emitor NPN tranzistoru je skutečně na kladném potenciálu a báze není zapojena. Vzhledem k nепatrnému množství součástek je individuální nastavení jednoduchou a téměř zábavnou záležitostí /zvláště když to nechce chodit - poznámka lektora/. Na závěr popisu ještě připomínku, že indikátor se vyplatí i pro kontrolu baterie suchých článků. Používá dokonce i pro hrubé sledování stavu nabitého olověného akumulátoru, např. v automobilu.

1.3.8 Nabíjení plynnotěsných akumulátorů NiCd asymetrickým proudem

V souvislosti s "kadmiovou nemocí" /krystalizací kadmia/, která se urychluje při hlubokém vybíjení článků, bylo poukázáno na důležitost prevence.

Tvorbu krystalických jehliček /dendritů/ lze zpomalit, po případě přispět k jejich rozrušování, též při nabíjení akumulátorů asymetrickým proudem. Princip této metody, používané již



Obr.8 Nabíjení asymetrickým proudem

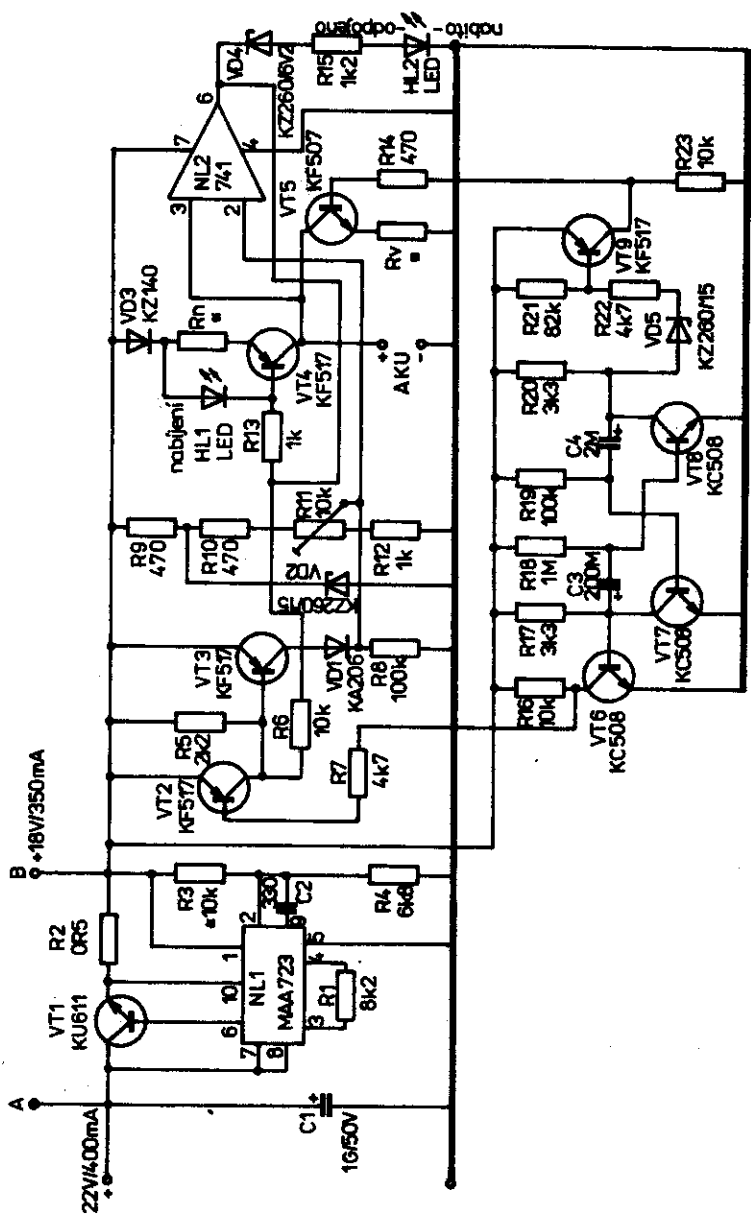
dříve při provozu staničních olověných akumulátorů, je znázorněn na obr.8. Využívá skutečnosti, že normální nabíjecí proud je vždy po určité době vystřídán vybíjecím impulsem délky t_v , tedy proudem opačné polarity. U olověných akumulátorů při vybíjecích impulsech dochází k rychlejšímu odplynování mikropórů elektrod, ze kterých jsou zároveň uvolněny drobné krystalky síranu olovnatého /sulfátu/. U akumulátorů NiCd jde vedle odplynování mikropórů též o rozrušování kadmiových jehliček, jak již

bylo uvedeno výše. Vcelku můžeme popsanou metodu označit jako zrychlené formování elektrod. Impulsní poměr $t_n : t_v$ volíme v rozsahu 10 až 30, skutečnou odpověď nám však dá pouze praxe, protože vždy záleží na celkovém stáří článku. Nový článek se bude chovat jinak než starý, s přibývajícími pracovními cykly se snižuje i dosažitelné nabíjecí svorkové napětí. To má být v případě článku NiCd 1,50 až 1,55 V.

Velmi zajímavou se ukazuje skutečnost, že asymetrickým proudem lze s úspěchem regenerovat burelové primární články LR. U klasických suchých článků tento efekt není výrazný. Aby nebylo myšlenky - zde nejde o doslovné nabíjení, protože u primárních článků jakéhokoli typu nelze již zreagované komponenty elektrod vrátit do původního stavu, ale o regeneraci, spočívající stejně jako u akumulátorů v uvolnění mikropór a tím i opětovném zvětšení činné plochy elektrod. Konečný efekt je ovšem stejný, zaznamenáme prodloužení životnosti, tedy zvýšení kapacity primárního článku, jako bychom ho doopravdy "nabili". Tak je také nutno nahližet na laické "nabíjení" miniaturních článků do kalkulaček nebo hodinek.

Zapojení jednoduchého nabíječe knoflíkových článků, které se velmi dobře osvědčilo v praxi leteckých modelářů, je na obr.9. Protože akumulátory NiCd mají poměrně plohou nabíjecí i vybijecí křivku, je nutno napájecí napětí stabilizovat. Transformátor s uzměrňovačem musí být dimenzován tak, aby mohly být dodrženy hodnoty napětí a proudu v bodech A a B.

Impulsní poměr $t_n : t_v$ je vytvářen multivibrátorem s tranzistory VT7 a VT8 a byl pokusně stanoven na $t_n = 9$ s, $t_v = 0,3$ s. Nabíjecí proud se nastavuje hodnotou rezistoru R_v , vybijecí



Digitized by srujanika@gmail.com

proud volbou R_v podle údajů výrobce akumulátoru /spravidla I_{10} a I_5 / . Při nastavení R_v si můžeme pomocí skratování kolektoru tranzistoru VT9 k zemi. Nabíječ je určen pro baterii deseti knoflikových článků 225 mAh nebo 450 mAh, indikace konečného nabíjecího napětí se nastavuje potenciometrickým trimrem 10 k Ω . Pro větší typy článků je nutné přiměřeně dimenzovat napájecí zdroj a stabilizátor napětí, také je nutné nahradit tranzistory VT7 a VT8 výkonnějšími typy.

Na závěr části o akumulátorech NiCd je na místě krátká rekapitulace:

Nálevné články NiCd jsou vhodné pro napájení jakýchkoli komunikačních, tedy i amatérských zařízení, protože jejich obal uha je nenáročná. Případné opomenutí pravidelného dobíjení obvyklejšně nevede k jejich poškození a po výměně elektrolytu je lze spravidla vždy přeformovat. Protože kladné a záporné desky nejsou u většiny konstrukcí odděleny separátorem, ale v podstatě volně zavěšeny v elektrolytu /stálou vzdálenost desek zajišťují izolační držáky nebo rámečky na jejich okrajích/, nedochází ani k prorůstání kadmiových jehliček a tím k samovolnému vybití svodovými proudy. Z amatérského hlediska je tedy nálevný článek NiCd skutečný "nezmar". Bohužel, nehodí se příliš do přenosných přístrojů, protože běžné konstrukce nálevných článků vyžadují zachování kolmých polohy.

Hermeticky uzavřené /plynotěsné/ články NiCd jsou oproti tomu daleko náročnější na údržbu, vyžadují pravidelné dobíjení a musí být chráněny před hlubokým vybitím. Za veškerou péčí se nám někdy odvěčí krátkou životností a sníženým počtem pracovních cyklů. Z amatérského hlediska jsou prvky značně choulosti-

vé a návrat k primárním suchým článkům je tedy zcela pochopitelný.

1.3.9 Niklocelové akumulátory - NiFe

Tyto dříve velmi populární akumulátory /vynálezce T.A.Edison/ mají svůj zenit za sebou a ve většině států se již nevyrábějí. Elektrochemická reakce je podobná akumulátorům NiCd:



Proti akumulátorům NiCd mají tyto nevýhody:

- přibližně dvojnásobný vnitřní elektrický odpor
- dvakrát až třikrát vyšší samovybíjení, zejména při vyšších teplotách
- podstatně větší pokles kapacity při teplotách pod bodem mrazu
- nižší watthodinovou účinnost /o 5 %/

Jedinými výhodami jsou poněkud vyšší /o 0,1 V/ svorkové napětí článku, vysoká mechanická odolnost a poměrně dlouhá životnost.

V posledních letech se opět do jisté míry obnovil zájem výzkumných pracovišť o niklocelové články v souvislosti s vývojem elektromobilů, řeší se nové metody výroby elektrod lisováním a sintrováním. Zajímavé možnosti slibuje vývoj plynотěsného článku NiFe, protože železo nevytváří dendritické formy, prorůstající separátorem.

1.3.10 Stříbrozinkové akumulátory - AgZn

Tyto akumulátory mají ze všech běžných systémů nejvyšší měr-

nou energii na objem a hmotnost, vnitřní odpor přibližně stejný jako akumulátory NiCd se sintrovanými elektrodami a četné jiné výhody, bohužel jsou velmi drahé, zvláště pro amatérskou praxi. Přesto pro úplnost uvedeme hlavní vlastnosti:

Svorkové napětí článku AgZn je 1,87 V v širokém rozmezí teplot. Vybijecí charakteristika je dvoustupňová, první stupeň je charakterizován svorkovým napětím 1,85 V/čl., druhý stupeň 1,55 V/čl. Na rozdíl od jiných systémů se vnitřní elektrický odpor při vybijení nezvětšuje, ale klesá. Akumulátory AgZn mají vysokou ampérhodinovou účinnost 93 až 96 %.

K nevýhodám je nutno počítat především vysoké nároky na správné ošetřování, např. napětí při nabíjení nesmí nikdy překročit 2,1 V na článek, dále musí být přesně podle rysky dodržována hladina elektrolytu, kterým je roztok KOH vysoké chemické čistoty s hustotou $1,40 \text{ kg} \cdot \text{dm}^{-3}$. Životnost AgZn článků nepřesahuje obyčejně 200 cyklů, je tedy velmi nízká. Stejně jako kadmium vytváří i zinek při krytalizaci dendritické formy, které narušují separátory desek a urychlují stárnutí.

K zajímavým vlastnostem AgZn článků patří, že je lze skladovat vybité na 0 V a zkratované, i když se dlouhodobé skladování aktivovaných a vyformovaných článků nedoporučuje. Jediným výrobcem střibrozinkových akumulátorů u nás je PANP Ml. Boleslav. Pokud se s těmito články ve své radiamatérské praxi setkáte, musíte se vždy důsledně řídit provozními doporučenimi výrobce. Řadu dalších informací naleznete zájemce v publikaci [1].

Tabulka 3. Typová řada AgZn článků ELAK

Typ	Jmenovité napětí [V]	Jmen. kapacita C_5 při 25°C [Ah]	Rozměry [mm]	Hmotnost [kg]
SZ 3,5	1,5	3,5	14x40x62	0,062
SZ 6,5	1,5	6,5	23x40x62	0,105
SZ 13	1,5	13	23x50x92	0,210
SZ 25 H	1,5	25	38x40x107	0,340
SZ 50	1,5	50	45x92x92	0,730

2. NAPÁJENÍ VOZIDLOVÝCH RADIOSTANIC

Zkušenosti z praxe dotvrsují, že pro čistý provoz FM je lépe každou konstrukci již v zárodku řešit s preferencí pro bateriové napájení a případné umístění v automobilu. Domácí provoz "od krku" je pak záležitostí nenáročného přídavného napáječe. To konečně potvrzuje i stoupající obliba rozměrově malých transceivrů s úplným vybavením "all mode", např. FT 480, IC 260E.

Mobilní zařízení pro FM se zpravidla řeší s výkonem 10 W, tj. s příkonem 30 až 50 W. I když v současnosti dostupné vše výkonové tranzistory umožňují i výkony vyšší, je jejich použití především otázkou energetické bilance a využití vozidlového akumulátoru. Je třeba velice nepřijemné, musíme-li po několika hodinovém provozu ze stojícího automobilu startovat rostlačováním. Za to přínos několika málo decibelů působený vyšším vysášeným výkonem nestojí.

Základním napájecím zdrojem automobilového transceivru je olověný akumulátor 12 V s kapacitou obvykle 33 až 45 Ah /pro osobní automobily/. Dnes už etypické napájení 6 V bude zmínka později.

2.1 PŘÍMÉ NAPÁJENÍ Z AKUMULÁTORU 12 V

V současné době dostupná součástková základna umožňuje řešení zejména transceivrů pro FM s přímým napájením z palubní sítě

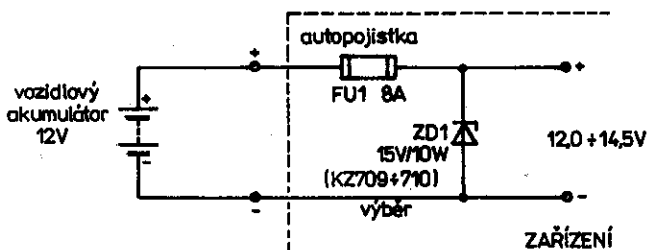
12 V. Kromě některých integrovaných obvodů, o kterých byla zmínka ve 2. dílu publikace, jde především o výkonové zesilovače, pro které existuje řada vhodných typů tranzistorů. Pro jejich použití platí však některá pravidla. Palubní síť automobilu nemůžeme považovat za neměnný, napěťově stabilní systém. Během provozu se napětí palubní sítě mění jak spojitě v rozmezí 12 až 14,5 V v závislosti na zatížení a dobíjení akumulátoru, tak ne-spojitě působením vnitřních spotřebičů a obvodů automobilu /startér, zapalování, regulátor napětí atd./. Právě funkce těchto obvodů vyvolává v palubní síti přechodové jevy, které se projevují napěťovými špičkami někdy i značné amplitudy /startér, zapalování - špičky až 300 V/.

Častou závadou, ohrožující výkonové zesilovače, ale i některé obvody méně odolné proti přepětí, je postupná koroze hlavní svorky u kladného pólu vozidlového akumulátoru. Je to jev celkem přirozený a nelze ho nikdy zcela vyloučit, jedině pravidelnou údržbou. Např. málokdo z motoristů ví, že tuto korozi /"obrůstání"/ lze účinně zpomalit atypickým prostředkem, a to nástříkem zamontované a dotažené svorky sprejem Akutol z příruční lékárničky. Lze použít i neutrální silikonovou vazelinu. Ovšem ani to není zcela stoprocentní řešení, protože koroze může skrytě pokračovat i pod povrchem ošetřené svorky. V místě doteku svorky a pólového vývodu vzniklá přechodový odpor a akumulátor přestává plnit svou důležitou funkcí kapacitního filtru palubní sítě. Stejně tak se vozidlový akumulátor chová ke konci svého života, kdy sulfatizace desek dostoupí vrcholu, nebo když zapomeneme dolévat destilovanou vodu.

Pokud by alternátor nebyl v tomto případě zcela zatižen, je

schopen generovat daleko vyšší napětí než zmiňených 14,5 V. Reálné nabíjecí soustavy sice v takovém případě odpojuje budící vinutí alternátoru, pro výkonový zesilovač však může být jeho reakce příliš pomalá.

Vliv přepětí a přechodových jevů v palubní síti se tedy nevyplatí podceňovat. Ochranný obvod např. podle obr.10 by neměl



Obr.10 Ochranný obvod se Zenerovou diodou

chybět v žádném elektronickém zařízení provozovaném v automobilu, tím spíše v případě použití výkonových tranzistorů. Obvod má několik funkcí. Jednak zařazená tavná pojistka FU1 chrání proudově proti možnému zkratu v zařízení. Pojistku dimenzujeme podle odběru zařízení a vědomím toho, že i pojistka je vlastně odpor a vzniká na ní úbytek napětí. Pro vyšší výkony je autopojistka 8 A zcela přiměřená.

Zenerova dioda ZD1 chrání též před napěťovými špičkami. Dnešní dostupné výkonové tranzistory /např. známá řada KT 920, KT 925/ nejsou již tak citlivé na průraz jako starší typy a rychlosť reakce Zenerovy diody je pro ně dosažující.

Proti pomalému zvyšování napětí je dioda účinná pouze v případě menších odběrů - tehdy dojde k přepálení pojistky. U vět-

šich odběrů dojde spíše k přepálení diody, byť desetiwattové, překročením povolené stráty. V případě automobilu by však tato situace neměla přicházet v úvahu, pokud regulátor správně pracuje a včas reguluje buzení alternátoru. Zde Zenerova dioda vykryvá čas mezi okamžikem zvýšení napětí a reakcí reléového regulátoru a na tento relativně krátký časový úsek její zatížitelnost postačí.

I když se to zdá protismyslné, mohou v palubní sítí vozidla vznikat i napěťové špičky opačné polarity. Každá Zenerova dioda se v inverzním /propustném/ směru chová jako normální křemíková dioda s napětím přechodu 0,65 V. Napětí opačné polarisovaných špiček nemůže tuto mez překročit a tak malé protinapětí není nebezpečné ani vč výkonových zesilovačům, ani některým integrovaným obvodům, z nichž mnohé přepólování vůbec neunesou /MAA 661, A 244 D atd./.

V neposlední řadě chrání dioda zařízení i proti záměně polarity napájecích přívodů. Takovou situaci nemůžeme nikdy zcela vyloučit, vzápětí se zkratovým proudem přepaluje tavná pojistka. Dioda tento režim snáší bez problémů i v případě silnějších pojistek.

Jednoduchost obvodu je zárukou jeho spolehlivé funkce a jeho důsledné používání nám ušetří nejen mnohé komplikace, ale i penize.

V souvislosti s provozem vč výkonových zesilovačů osazených tranzistory ve vozidle je na místě ještě následující připomínka:

Ve vozidle zvláště v letních měsících bývá teplota natolik vysoká, že podstatně snižuje účinnost chladičů, zpravidla hliníkových. Může proto nastat kritický stav, kdy tepelný odpor

malého hliníkového chladiče nestačí k rychlému odvodu vytvořeného množství tepla z výkonového prvku, dojde k přehřátí a teplné destrukci. Proto se zvláště v poslední době projevuje trend používání měděných chladičů, které při stejných rozměrech mají menší tepelný odpor.

Pro napájení rádiových zařízení z palubní sítě platí i další důležitá zásada. Jak již bylo řečeno, akumulátor se projevuje jako účinný kapacitní filtr. Je proto vhodné připojovat jakékoli zařízení přímo ke svorkám baterie, a to měděnými kably o dostatečném průřezu, doporučuje se dále rozlišení polarity vodičů červenou /+/ a modrou /-/ barvou. Kostru vozidla jako společný vodič nepoužíváme. Jištění obstará již zmíněný ochranný obvod, který je součástí zařízení. Přímé připojení k baterii se projeví i poklesem hladiny impulsního rušení, zvláště při příjmu. Toto řešení je účinnější než zařazování odrušovacích členů, na kterých sase nutně vzniká při větších odborech nežádoucí úbytek napětí.

2.2 NEPŘÍMÉ NAPÁJENÍ - MĚNIČE NAPĚTI

V řadě případů je nutno mobilní vysílací zařízení, zvláště jeho koncové stupně napájet vyšším napětím, než má daná vozidlová baterie. Pomineme-li napájení elektronkových, resp. hybridních radiostanic a zeměříme-li se na nejčastější případy, půjde zpravidla o konverzi 12 V na 24 V, případně 6 V na 12 V. Lze realizovat i měnič napětí z 6 V na 24 V, ale jde o výjimečné případy. Zde je snad na místě připomínka, že vyšší napájecí napětí lze jednoduše získat sériovým spojením akumulátorových ba-

terií, takové řešení však není technicky příliš elegantní. I když vyřešíme průběžné dobíjení přídavného akumulátoru, skončíme obvykle u nerudovské otázky. Dobře pracující měnič je rozměrově vždy menší než přídavný akumulátor a při jeho použití není nutno v palubní síti vozidla činit další úpravy. Pokud je měnič součástí radiostanice, je celý komplet navíc použitelný v kterémkoli jiném vozidle s odpovídajícím napětím palubní sítě.

K používání měničů nás vede i skutečnost, že mezi amatéry je ještě dost starých typů tranzistorů pro napájecí napětí 28 V. Jmenujme např. americké 2N3375, 2N3632 nebo sovětské KT904, KT907, ale i novější řadu KT922. Pro účely provozu FM bohatě postačují a je škoda je nechat zahálet pouze proto, že nedokážeme přemoci vlastní pohodlnost a zhotovit jednoduchý měnič. Ostatně, napájení 28 V je stále výhodné pro lineární zesilovače SSB. Není vůbec jednoduché získat čistý signál SSB z dostupných tranzistorů pro napájení z 12 V při zachování alespoň minimální účinnosti.

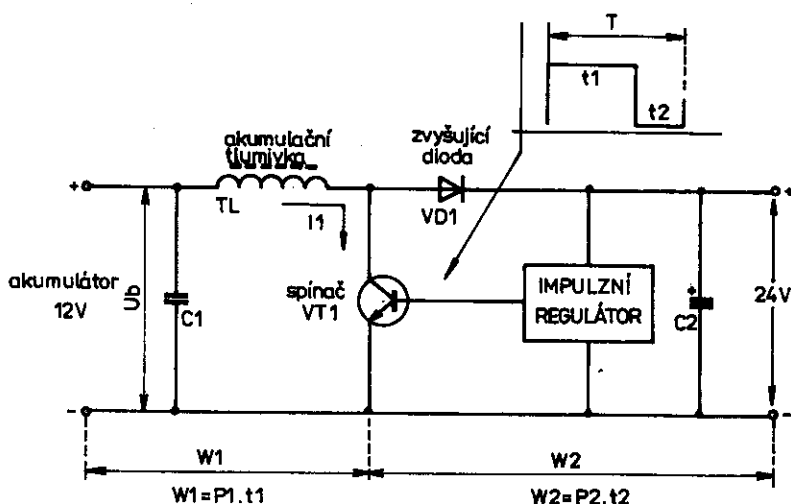
Nepřímé napájení z měniče má těž další klady. Především měnič působí jako oddělovací mezičlánek mezi zařízením a palubní sítí vozidla a omezuje tak již zmíněné napěťové špičky a rušivé jevy. Měniče působí zpravidla jako dobré stabilizátory, vyrovnávající /i filtrující/ změny vstupního napětí. V případě automobilových měničů není nutno klást přehnané požadavky na účinnost měniče jako např. u fotoblesků, což se projeví značným zjednodušením zapojení a jeho menší pracnosti. Nicméně i tak účinnost jednoduchých měničů zůstává vysoká, málokdy je nižší než 60 %.

Pro potřeby mobilního provozu přichází do úvahy především

měniče s impulsením řízením a stabilizací výstupního napětí. Nejvhodnějším je blokující měnič zvyšujícího typu s akumulační tlumivkou, u kterého lze dosáhnout velmi vysokého činitele stabilizace výstupního napětí. Dalším vhodným typem je měnič s impulsním transformátorem.

2.2.1 Měnič s akumulační tlumivkou

Pro uspokojivou funkci měniče je nejdůležitější správné dimenzování jeho výkonové části. Typické zapojení výkonové části měniče je na obr.11. Akumulační tlumivka TL je spínána řízeným



Obr.11 Výkonová část měniče s akumulační tlumivkou

spínačem VT1. Rozlišujeme u něj dva stavů: stav sepnutí po dobu t_1 a stav vypnutí po dobu t_2 . Součet obou časů tvoří jednu periodu řídicího signálu T.

V čase sepnutí t_1 se v tlumivce akumuluje energie W_1 . V čase

t_2 se tato energie uvolňuje jako kladný impuls, usměrňuje svařující /booster/diodou VD1, zapojenou v sérii s baterií a nabíjí kondenzátor C2. Napětí usměrněné diodou se sčítá s napětím baterie Ub, proto hovoříme o svařujícím měniči. Velikost usměrněného napětí je závislá na impulsním poměru řídicího signálu spínače VT1, tedy i na poměru doby sepnutí t_1 k periodě spinání T. Učiníme-li tento poměr závislý na velikosti napětí na výstupu prostřednictvím regulátoru, můžeme dosáhnout stavu, při kterém se automaticky stabilizuje výstupní napětí v širokých mezích.

Účinnost měniče bude především ovlivňována dbytkem napětí ΔU_L na strátovém odporu tlumivky T1. Dále je nutné, aby použitý spínač VT1 měl minimální saturační napětí U_{CES} . Tyto parametry jsou důležité z hlediska akumulace co největšího množství magnetické energie W_1 v tlumivce po dobu sepnutí t_1 .

Energie magnetického pole tlumivky je dána vztahem

$$W_1 = \frac{1}{2} \cdot L \cdot I^2 \quad /J$$

Spinací proud I_1 bude zřejmě tím větší, čím menší bude saturační napětí U_{CES} spínače, protože pracujeme s poměrně nízkým napájecím napětím 12 V. Dále spinací proud závisí i na vnitřním odporu zdroje, ten však v uvažovaném případě olověného automobilového akumulátoru bude vždy minimální.

Je též nutné optimálně volit indukčnost tlumivky T1. Zvětšování indukčnosti s ohledem na akumulaci energie W_1 je možné jen do jisté míry, protože velká indukčnost znamená velký počet závitů a tudíž zvětšený ohmický /strátový/ odpor vinutí, ze kterého zase vyplývá větší úbytek napětí ΔU_L . Stačí si pro srov-

nání uvědomit, že na strátovém odporu vinutí $0,1 \Omega$ vzniká při proudu $I_1 = 10 A$ výkonová stráta 10 W.

Je tedy nesbytné použít feromagnetického jádra, které umožní konstruovat cívky s malým strátovým odporem vinutí při dostatečně velké indukčnosti. Volba materiálu jádra s ohledem na pracovní kmitočet a dovolené mýcení B_{max} je pro uspokojivou funkci jakékoli měniče nejdiležitější, jak bude poukázáno později. Prosazím obraťme pozornost k energetickým poměrům v měniči.

Tlumivkou Tl v čase t_1 protéká přibližně proud

$$I_1 = \frac{Ub}{L} \cdot t_1 \quad /2/$$

přičemž tento vztah platí pro $T \ll t_1 = R_s \cdot L$, tj. pro kvazilineární část nabíjecího průběhu.

Pro snadné pochopení dalšího výkladu si časy t_1 a t_2 vyjádříme jako poměrnou část celkové periody T pomocí činitele klíčování K .

$$t_1 = K \cdot T \quad /3/$$

$$t_2 = (1 - K) \cdot T \quad /4/$$

Činitel K vyjadřuje tedy poměr času sepnutí t_1 k celkové periodě T :

$$K = \frac{t_1}{T} \quad /5/$$

nebo též

$$K = \frac{t_1}{t_1 + t_2} \quad /6/$$

Nyní dosadíme vzorec /2/ do základního vztahu /1/:

$$W_1 = \frac{L}{2} \cdot I^2 = \frac{L}{2} \cdot \left(\frac{Ub}{L} \cdot t_1 \right)^2 = \frac{Ub^2}{2L} \cdot t_1^2 \quad /7/$$

Vyjádříme ještě čas sepnutí t_1 pomocí vztahu /3/ a obdržíme

$$W_1 = \frac{Ub^2}{2L} \cdot K^2 \cdot T^2 \quad /8/$$

Na straně zátěže je odebírána energie

$$W_2 = P_2 \cdot t_2 \quad /9/$$

kde P_2 je výkon odebraný v čase vypnutí t_2 . I tento vztah je možno vyjádřit činitelem K dosazením /4/

$$W_2 = P_2 \cdot (1 - K) \cdot T \quad /10/$$

Pro výpočet předpokládáme ideální bezestrátový přenos energie, čili $W_1 = W_2$, a tedy

$$\frac{Ub^2}{2L} \cdot K^2 \cdot T^2 = P_2 \cdot (1 - K) \cdot T \quad /11/$$

po úpravě

$$\frac{Ub^2}{2L} \cdot K^2 \cdot T = P_2 \cdot (1 - K) \quad /12/$$

Z toho nás zajímá především výstupní výkon

$$P_2 = \frac{Ub^2}{2L} \cdot \frac{K^2}{(1 - K)} \cdot T \quad /13/$$

a protože víme, že

$$T = \frac{1}{2} \quad /14/$$

můžeme napsat výslednou rovnici

$$P_2 = \frac{Ub^2}{2L \cdot \frac{1}{2}} \cdot \frac{K^2}{(1 - K)} \quad /15/$$

ze které lze odvodit nejdůležitější závěry pro konstrukci výkonové části. Z rovnice vyplývá:

- ke zvětšení výstupního výkonu je třeba při konstantním kmitočtu f zmenšit indukčnost tlumivky
- při malých napětích baterie je nutné též zmenšit indukčnost tlumivky nebo snížit kmitočet f
- volba vyššího činitele K má vliv na zvýšení výstupního výkonu. Vyjdeme-li z impulsního poměru $1 : 1$, kterému odpovídá činitel $K = 0,5$, bude výrazu

$$\frac{K^2}{(1 - K)}$$

/16/

odpovídat též hodnota 0,5. Zvolíme-li však $I = 0,75$, nabývá zmíněný výraz hodnoty 2,25, což znamená více než čtyřnásobné zvýšení výkonu vztaženo k výchozímu impulsnímu poměru $1 : 1$. Právě kvadratické závislosti funkce /16/ se u impulsně řízených měničů využívá k účinné regulaci. Pro výchozí výpočet volíme obvykle hodnotu $K = 0,7$, abychom si zajistili dostatečnou rezervu pro regulaci. Více než všeobecné úvahy naznačí praktický příklad:

Předpokládejme baterii vozidla Trabant, jejíž napětí je vlivem celkových úbytků zmenšeno na 5,4 V. Volíme $L = 100 \mu H$, činitel $K = 0,7$ a kmitočet $f = 10 \text{ kHz}$. Po dosazení do vzorce /15/ získáme $P_2 = 24 \text{ W}$.

2.2.2 Návrh akumulační tlumivky měniče

Nejdůležitější pro funkci měniče je volba vhodného feromagnetického materiálu jádra. To platí nejen pro popsaný případ akumulační tlumivky, ale i pro měniče s impulsními transformátory.

U měničů spolu úzce souvisí přenášený výkon, hmotnost /ob-

jem/ jádra indukčnosti a pracovní kmitočet. Význačným parametrem je magnetická indukce B /sycení/ materiálu jádra.

Klasické, dnes minimálně používané měniče /střídače/ s pracovním kmitočtem 50 Hz se vyznačovaly nevýhodným poměrem hmotnosti k přenášenému výkonu. Snad jedinou výhodou byly minimální nároky na použité polovodičové součástky a relativně vysoká dovolená indukce B /pro běžné křemíkové transformátorové plechy tloušťky 0,35 mm zpravidla $B = 1 \text{ T}$ /. Tuto hodnotu indukce můžeme však využít pouze do kmitočtu asi 150 Hz. S dalším zvyšováním kmitočtu rostou již stráty v železe /hysteresní i vřivými proudy/, což se projeví ohřevem jádra. Vzniklé teplo musí být povrchem jádra odvedeno do okolí. Záleží tedy i na tvaru jádra a jeho případném chlazení. Se zvyšujícím se kmitočtem je nutno zmenšovat zvolenou hodnotu indukce.

Optimum účinného přenosu energie s přihlédnutím k hmotnosti můžeme vyjádřit pomocí poměru přenášeného výkonu P k výkonu, přenesenému při 50 Hz. Zhruba platí, že pro křemíkový plech 0,35 mm můžeme dosáhnout asi pětinásobného zvětšení přenášeného výkonu při kmitočtech 0,5 až 1 kHz; tenké orientované plechy o tloušťce 0,1 mm umožňují ež dvacetinásobně zvětšit přenášený výkon při kmitočtech 2 - 5 kHz. Při kmitočtech nad 20 kHz jsou již nejvhodnější mangano-zinečnatá feritová jádra, u nichž však musíme respektovat skutečnost, že mají velmi malou mechanickou pevnost v tahu, a proto snadno při přehřátí praskají vnitřním tepelným pnutím. Dále se běžné mangano-zinečnaté ferity vyznačují menší dovolenou indukcí a nižší hodnotou Curieho bodu, tj. teplotou, při níž dochází k degradaci magnetických vlastností /např. pro materiál H 22 je $B_{\max} = 0,3 \text{ T}$ a

$\text{^n CUR} = 90^\circ \text{ C}.$ Přesto tyto materiály umožňují přenášet výkony až pedesátinásobné ve srovnání se stejně velkým železným jádrem při 50 Hz.

Vhodnost či nevhodnost jádra pro daný účel ověřujeme předběžným informativním výpočtem. Jeho postup si ukážeme na následujícím praktickém příkladu.

Příklad: Uvažujeme nejméně přísnivé podmínky, tj. vozidlovou baterii 6 V. Součet úbytků napětí na přívodech od baterie, strátovému odporu vinutí Tl a saturačního napětí transistorového spínače VT 1 bude celkově 1 V. Účinnost měniče předpokládáme $\eta = 0,75$, odebíraný výkon $P_2 = 50 \text{ W}$.

Proud vinutím akumulační tlumivky Tl bude tedy

$$I = \frac{P_2}{\eta(U_b - \sum \Delta U)} = \frac{50}{0,75(6 - 1)} = 13,3 \text{ A} \quad /17/$$

zaokrouhleno na špičkový proud 15 A. Zvolená indukčnost akumulační tlumivky $L = 100 \mu\text{H}$.

Pro první krok volíme toroidní jádro z kmoty H22 o vnějším průměru 32 mm. U tohoto jádra je délka střední magnetické silosčary $l_e = 8,15 \text{ cm}$, efektivní průřez jádra $A_e = 0,78 \text{ cm}^2$. Tyto údaje zjistíme buď z katalogu, nebo je vypočítáme po co možno nejpřesnějším změření jádra posuvným měřítkem z geometrických rozměrů. Počet závitů toroidní cívky se vypočítá ze vztahu

$$n^2 = \frac{L \cdot l_e}{\mu_0 \mu_i A_e} \quad /18/$$

kde $\mu_0 = 1,256 \cdot 10^{-6} \text{ H} \cdot \text{m}^{-1}$ je permeabilita vakuua, μ_i je počáteční permeabilita uvažovaného magnetického materiálu /pro H 22 $\mu_i = 2200/$. Všechny hodnoty se dosazují v jednotkách soustavy SI. Po dosazení

$$n^2 = \frac{100 \cdot 10^{-6} \cdot 8,15 \cdot 10^{-2}}{1,256 \cdot 10^{-6} \cdot 2200 \cdot 0,78 \cdot 10^{-4}} = 37,8 \quad /19/$$

tedy $n = 6$ závitů /20/

Nyní ověříme pro daný vzorek sycení B

$$B = \mu_0 \cdot \mu_i \frac{I \cdot n}{l_e} \quad /21/$$

Součin I . n je intensita magnetického pole /známé ampérzávity Az/. Po dosazení

$$B = 1,256 \cdot 10^{-6} \cdot 2200 \frac{15 \cdot 6}{8,15 \cdot 10^{-2}} = 3,05 \text{ T} \quad /22/$$

Je zřejmé, že dovolené sycení feritu $B_{\max} = 0,3 \text{ T}$ je v tomto případě desetinásobně překročeno, uvažované jádro je tedy pro daný účel nevhodné.

Pro druhý krok volme hrncové jádro průměru 36 mm z hmoty H 22, bez vzduchové mezery. Toto jádro má konstantu $A_L = 8000 \text{ nH/Z}^2$, efektivní průřez $A_e = 2,02 \text{ cm}^2$, délku střední siločáry $l_e = 5,32 \text{ cm}$. Nejdříve určíme počet závitů

$$n^2 = \frac{L}{A_L} \quad [\text{záv; nH, nH/záv.}^2] \quad /23/$$

kde L dosazujeme v nH, protože i katalogová hodnota A_L /zpravidla uváděná i na jádře/ je udávána v nH/záv.². Tedy

$$n^2 = \frac{100 \cdot 10^3}{8000} = 12,5 \quad /24/$$

$n = 3,5$ závitu /25/

Podle vztahu /21/ ověříme sycení B. Tento vztah platí jak pro toroidy, tak pro hrncová jádra.

$$B = 1,256 \cdot 10^{-6} \cdot 2200 \frac{15 \cdot 3,5}{5,32 \cdot 10^{-2}} = 2,72 \text{ T} \quad /26/$$

I v tomto případě je přípustné sycení B značně překročeno.

Jedinou možností, jak snížit sycení B, je zařazení vzduchové mezery do magnetického obvodu jádra. Vzduchová mezera zvětšuje celkový magnetický odpor obvodu a tak zmenšuje jeho sycení, které musí být udrženo pod dovolenou hodnotu B_{max} .

Pro šířku mezery l_m /vlastně délku magnetické siločáry ve vzduchu/ platí následující vztah

$$l_m = \frac{\mu_0 \cdot L \cdot I^2}{B^2 \cdot A_e} \quad [m; H, A, T, m^2] \quad /27/$$

Pro B z toho vyplývá

$$B = \sqrt{\frac{\mu_0 \cdot L \cdot I^2}{l_m \cdot A_e}}$$

kde součin $l_m \cdot A_e$ představuje vlastně objem mezery.

Při ověřování vycházíme z katalogových údajů. Katalog např. uvádí mezi hrničkovými jádry H 22 o průměru 36 mm typ s $A_L = 250$ a vzduchovou mezzerou 1,25 mm /zařazením vzduchové mezery se samozřejmě pro dané jádro zmenší konstanta A_L , i když vnější rozměry jádra zůstávají stejné/. Uvedené jádro ověříme dosazením do vzorce /28/

$$B = \sqrt{\frac{1,256 \cdot 10^{-6} \cdot 100 \cdot 10^{-6} \cdot 12^2}{1,25 \cdot 10^{-3} \cdot 2,02 \cdot 10^{-4}}} \quad /29/$$

$$B = 0,33 T \quad /30/$$

Hodnota $B_{max} = 0,3 T$ je v tomto případě překročena již nepatrň. Dalšího snížení sycení můžeme snadno dosáhnout volbou menší hodnoty indukčnosti, např. $L = 75 \mu H$. Po dosazení

$$B = \sqrt{\frac{1,256 \cdot 10^{-6} \cdot 75 \cdot 10^{-6} \cdot 15^2}{1,25 \cdot 10^{-3} \cdot 2,02 \cdot 10^{-4}}} \quad /31/$$

$$B = 0,29 T \quad /32/$$

což je těsně pod hranicí dovoleného sycení B_{max} . Uvažované jádro tedy vyhoví. Pro udávanou konstantu $A_L = 250$ bude počet závitů pro $L = 75 \mu\text{H}$

$$n = \sqrt{\frac{75 \cdot 10^3}{250}}$$

$$n = 17,5 \text{ závitu}$$

Vzduchovou mezalu lze u hrncových jader realizovat snadno, u toroidů je to, zvláště v amatérských podmínkách, méně pravděpodobné. V případě nutnosti, zvláště při větších výkonech, se můžeme uchýlit k E-jádrům, u nichž mezalu vytvoříme vložením distanční vložky vhodné tloušťky. Skutečná šířka mezery bude s ohledem na dvojnásobné přerušení jádra v tomto případě poloviční. Některé typy E-jader jsou dodávány se vzduchovou mezalou již výrobcem.

Z hlediska rozptylového magnetického pole a tím i rušivého vyzařování však stále kromě hrncových jader sestávají perspektivní toroidní jádra s uzavřeným magnetickým tokem. Uvažujme nyní, jakým způsobem lze pro toroidní jádro dosáhnout odpovídající vzduchové mezery.

2.2.3 Magnetické materiály pro měniče napětí

V zahraničí se v posledních letech pro impulsní měniče začinají prosazovat lisovaná jádra, v podstatě obdoba práškových jader. Drcené magneticky vodivé legované kovy, smísené s pojivem z plastické hmoty, mohou být lisovány, případně i jinak opracovány do libovolných forem a tvarů. Tyto materiály jsou vhodné právě pro indukčností impulsních měničů - pojivo nahrazuje vzduchovou mezalu.

Dnes již málokdo ví, že jádra tohoto typu byla u nás ve velkém množství vyráběna v Přemetu Šumperk v padesátych letech pro telekomunikační techniku. Prášková jádra nesla společné označení "Fonit" a vyráběla se ve dvou variantách, karbonylové a sendustové.

Základem karbonylových, tzv. stříkaných jader byl jemný prášek z karbonylového železa o velikosti zrna asi $3 \mu\text{m}$, pojivem byl termoplast, obyčejně polystyren. Nejrozšířenější byla šroubová došádovací jádra /tzv. hmota C5/, nejméně označované jako ferokartová. Dalším běžným tvarom jsou dodnes vyráběné mezi-frekvenční hrničky o průměru 8 mm, známé z radiostanic VKN, VR atd.

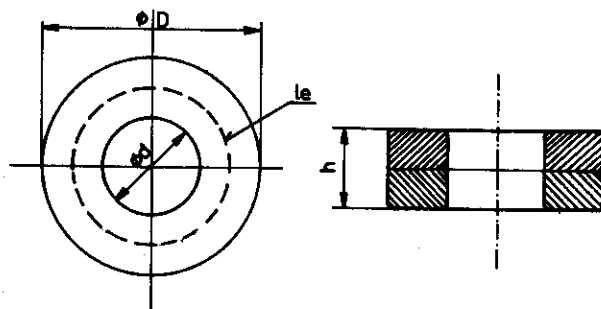
Základem sendustových jader je magneticky měkká trojná slitina Fe-Si-Al /vlastně kdysi populární Alsifer/. Ingotty této slitiny se drtí a melou na velikost zrna asi $50 \mu\text{m}$. Sendustový prášek má srnička tvaru nepravidelných mnohostěnů s četnými ostrými hranami. Proto se prášek izoluje chemickou cestou, nebo se srnička sendstu obalí práškovým skloemilem, který se při žihání výlisků roztaví a vytvoří mezi zrny izolační vrstvičku. Sendustové jádro poznáme snadno podle toho, že na lomu připomíná litinu. Ze sendstu se vyráběla převážně toroidní jádra pro telekomunikační filtry až do kmitočtů kolem 100 kHz. V současné době je možné tato jádra získat z vyfazovaných za-staralých telekomunikačních zařízení. Sendustové toroidy jsou normalizovány, rozměry a vlastnosti ukazuje obr.12. Jádra "Fonit" byla vyráběna jak v kompaktním tvaru, tak i dvoudílná.

Hlavní výhodou sendstu je jeho poměrně značné sycení $B_{\max} \geq 1,2 \text{ T}$, větší než u běžných křemíkových plechů. Dále je to

Tabulka 4. Sendustová toroidní jádra "Fonit"

Označení	D [mm]	d [mm]	h [mm]	l_e [mm]	Relativní permeabilita	Barva
T 33,5 S	35	18	10	83	35	oranž.
T 35,7 S	35	23	14	91	32	oranž.
T 40,7 S	40	24,5	14	101	35	oranž.
T 44,10 S	44	28	20	113	60	červená
T 59,12 S	59	36	24	150	25	zelená
T 59,12 S	59	36	24	150	35	oranž.
T 59,12 S	59	36	24	150	55	červená

Pozor! Barevné označení nezaměňovat s označením pro ferity.



Obr.12 Sendustová toroidní jádra "Fonit"

skutečnost, že tento v podstatě práškový materiál je vhodný pro mírně nadzvukovou kmitočtovou oblast 20 až 30 kHz, která přichází nejvíce v úvahu.

Vlastnosti sendustu si ukážeme nejlépe na praktickém příkladu.

Příklad: Uvažujeme opět indukčnost $L = 100 \mu\text{H}$ a proud 15 A jako v předcházejících případech. Pro tlumivku T1 zvolme sendustový toroid, na obr.12 označený jako T 33 . 5 S, tedy nej-

menší vyráběná velikost. Podle geometrických rozměrů byla vypočítána délka střední siločáry $l_s = 83,25$ mm, průřez $A_s \approx 0,8 \text{ cm}^2$. Relativní permeabilita $\mu_r = 35$.

Po dosazení do vzorce /18/ získáme

$$n^2 = \frac{100 \cdot 10^{-6} \cdot 83,25 \cdot 10^{-3}}{1,256 \cdot 10^{-6} \cdot 35 \cdot 0,8 \cdot 10^{-4}} \quad /35/$$

$n \approx 48$ sávitů

/36/

Podle /21/ ověříme sycení B

$$B = 1,256 \cdot 10^{-6} \cdot 35 \cdot \frac{15 \cdot 48}{83,25 \cdot 10^{-3}} \quad /37/$$

$B = 0,38 \text{ T}$

/38/

což oproti předpokládané minimální hodnotě $B_{\max} = 1,2 \text{ T}$ představuje ještě značnou rezervu. Tomu odpovídaly i praktické pokusy s tímto jádrem, které ve funkci akumulační tlumivky bylo schopno přenést výkon až 200 W bez znatelného oteplení, kdy již ostatní součástky /spinací tranzistor, dioda/ pracovaly na horní hranici svých ztrátových výkonů.

Uvedený výpočet však poukazuje i na určitý nedostatek práškových jader, a to je ve srovnání s ferity jejich poměrně nízká permeabilita. Pro požadovanou indukčnost je pak třeba větší počet sávitů a zvyšuje se ztrátový odpor vinutí. Tento odpor lze sice snížit zvětšením průřezu použitého vodiče, řešení však není z rozměrových a zejména mechanických důvodů příliš praktické, protože zhotovit vinutí na toroidní /ale i hrncové/ jádro z extrémně silného vodiče je velmi obtížné.

Používá se proto s výhodou vinutí několika slabšími vodiči současně. Důležité je, aby všechny vodiče svazku měly stejnou délku, což dosáhneme jejich mírným zkroucením. Jde tedy vlastně

o rukodělně vyrobené výlanku s lakovaných vodičů průměru asi 0,5 mm, které již lze snadno tvarovat. Celkový průřez volime co možně největší, tak, aby se vinutí ještě na jádro vešlo. Použití lanka není samoučelné ani z elektrického hlediska, protože u uvažovaných pracovních kmitočtů se již začínají uplatňovat i ztráty způsobené povrchovým jevem /skinfektem/. Ostatní způsoby, mezi něž patří např. ploché vinutí z měděného pásku, jsou pro amatérskou praxi značně přepracovány. S výhodou je ovšem můžeme využít v případě dálé uváděných feritových E-jader.

Feritový materiál H 21

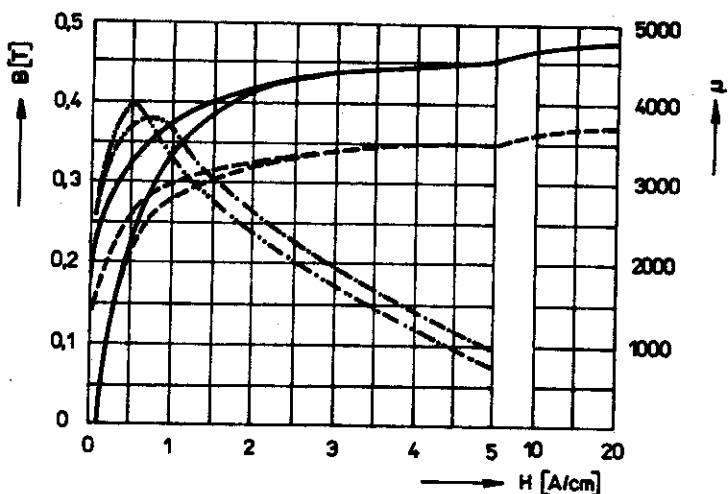
Feritové materiály s vysokou počáteční permeabilitou umožňují sice dosáhnout minimálního strátového odporu vinutí, mají však nižší povolené sycení a především nízkou hodnotu Curieho bodu. U běžných feritových materiálů platí, že čím vyšší je permeabilita, tím nižší je Curieho bod. Proto byl hledán feritový materiál, který by spojoval výhodu vysoké permeability s vysokou hodnotou Curieho bodu.

V Přemstě Šumperk byl vyvinut materiál H 21, svými vlastnostmi vhodný právě pro spinaci zdroje a měniče. Protože jde o materiál poměrně nový, uvádíme některé hlavní údaje, získané díky pomocí OK2JI:

Počáteční permeabilita je udávána $\mu_1 = 1900 \pm 20\%$, koercitivní síla $H_c = 20 \text{ A} \cdot \text{m}^{-1}$, Curieho bod vyšší než 200°C . To je více než dvojnásobná hodnota ve srovnání s materiálem H 22, proto též materiál H 21 můžeme běžně provozovat při teplotě jádra okolo 100°C . Tomu ovšem musí vyhovovat izolační materiály vinutí /teflon apod./.

Na obr.13 je magnetizační charakteristika, tabulka 5 obsahuje přehled současného sortimentu feritových jader z materiálu H 21, jejichž základní tvary znázorňuje obr.14.

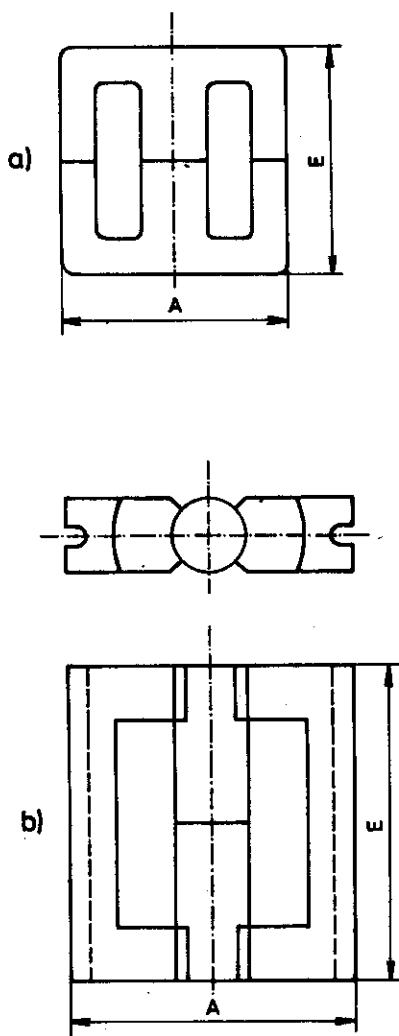
H21



Obr.13 Magnetizační charakteristika /hysterezní křivka/ a závislost permeability feritu H21 na stejnosměrném magnetickém poli

Pro měniče nízkého napětí jsou vhodné tvary E a zejména pak EC, umožňující i amatérskou realizaci vinutí z měděného pásu. V případě potřeby lze u těchto tvarů jader snadno vytvořit vzduchovou mezera pomocí distanční vložky příslušné tloušťky. Stahovací a upevňovací armatury jsou jednoduché a snadno zhotovitelné.

Jádra tvaru U jsou sice určena pro měniče vysokého napětí v televizních přijímačích, protože však lze předpokládat amatérské experimentování i s těmito poměrně snadno dosažitelnými typy, uvádíme některé další údaje.



Obr.14 Tvary feritových jader H21
a/ jádro E, b/ jádro EC, c/ jádro U

Tabulka 5. Sortiment feritových jader H 21

Číslo JK:	A [mm]	B [mm]	S _{ef} [mm ²]	l _{ef} [cm]
Jádra E - použití ve spínacích zdrojích a měničích				
205 521 203 250	42	42,6	172	9,52
205 521 203 300	55,2	57	343	12,23
Jádra EC - použití ve spínacích zdrojích a měničích. Zaručovaná minimální indukce při teplotě 100° C jakož i ztráty při teplotě 100° C a kmitočtu 16 kHz.				
205 521 404 400	35,3	34,9	84,3	
205 521 404 425	41,6	39,3	121	
205 521 404 450	53,5	48,7	180	
205 521 404 475	71,7	69,3	279	
Jádra U - pro vnitřní transformátory televizních přijímačů. Blíže specifikace v textu.				
205 521 304 109	57,8	28,4	170	16,3
205 521 304 110	59	35,8	210	18,9

Jádro U označené JK 205 521 304 109, je charakterizováno celkovými ztrátami $P_z \leq 3,3$ W při indukci $B = 0,2$ T, kmitočtu $f = 15$ kHz a teplotě $\theta = 25^\circ$ C. Pro teplotu 100° C jsou zaručovány ztráty $P_z \leq 3,05$ W při stejně indukci a kmitočtu. Amplituda magnetické indukce $B_a \geq 310$ mT při intenzitě magnetického pole $H = 250$ A . m⁻¹, $f = 15$ kHz a $\theta = 100^\circ$ C.

Větší jádro U, označené JK 205 521 304 110, má celkové ztráty $P_z \leq 4,8$ W při $B = 0,2$ T, $f = 15$ kHz a $\theta = 100^\circ$ C. Pro teplotu 100° C jsou zaručovány ztráty $P_z \leq 4,4$ W při stejně indukci a kmitočtu. Amplituda magnetické indukce $B_a \geq 310$ mT při intenzitě $H = 250$ A . m⁻¹, $f = 15$ kHz a $\theta = 100^\circ$ C.

2.2.4 Výkonové prvky měničů

Důležitým výkonovým prvkem je spinací, jehož vlastnosti posuzujeme především z hlediska strát, ovlivňujících celkovou účinnost. V sádě jde o straty dvojího druhu, a to stejnosměrné a spinaci. Záleží zde na typu a určení měniče.

Stejnosměrné straty jsou dány především saturačním napětím spinacího prvku, které musí být co nejmenší. To je důležité právě u měničů napájených z autobaterií s nízkým napětím, u měničů napájených poměrně vysokým síťovým napětím je úbytek napětí na spinaci nepatrným zlomkem vstupního napětí, tudíž zanedbatelný.

Pro bateriové měniče je stále vhodným spinacím prvkem bipolární výkonový tranzistor. Pro dosažení úplné saturace je však ve většině případů nutné použít Darlingtonova zapojení. Toto tzv. výkonové buzení jde samosřejmě na účet strát, přesto je toto řešení lepší než stav neúplné saturace.

V poslední době se stále více prosazují spinaci prvky s tzv. bezvýkonovým busením na bázi technologie MOS. Zde je nutno připomenout, že ne všechny tyto prvky jsou vhodné pro bateriové měniče - pro tato zapojení jsou určeny speciální spinaci MOS tranzistory. Technologický vývoj v této oblasti je však značný. Zahraniční výrobci uvádějí některé typy struktury V-MOS /ale i technologie SIPMOS - Siemens/, vhodné i pro nízká vstupní napětí /např. typ BUZ 10 firmy Siemens/.

Pro úplnost je nutno se zmínit i o tyristorových spinacích, jejichž doménou je oblast vyšších vstupních napětí. Pro bateriové měniče se nehodí.

Spinací straty jsou závislé na technologii spinacího prvku. Lze je zhruba posoudit podle mezního kmitočtu uvažovaného spí-

nače. Rozdělujeme je na stráty při zapínání, dané časem zapnutí t_{on} , ve kterém dany prvek přejde do úplné saturace. Ztráty při vypínání jsou napak dány vypínačím časem t_{off} . Oba časy nejsou spravidla shodné a mimo jiné závisí i na napájecím napěti.

V praxi pro bateriové měniče vyhoví všechny tranzistory řady KU /BU, SU/, ale i KD, jejichž spinaci vlastnosti jsou pro uvažovanou kmitočtovou oblast 20 až 30 kHz více než dostatečné.

Napak kritickým prvkem výkonové části měničů základní dioda VD 1, v případě měniče snázorněného na obr.11 pracující jako zvyšovací /booster/ dioda. Kritickými parametry jsou zejména čelní napětí U_{AK} a zatajovací doba t_{rr} v závěrném směru, související s kapacitou přechodu v oblasti malých napětí. Při rozpojení spínače prochází zvyšovací diodou VD 1 proud, prakticky shodný s I_1 . V již uváděném případě měniče napájeného z akumulátoru 6 V tedy špičkový proud $I_1 = 15 \text{ A}$. To při průměrném čelním napětí křemíkových diod U_{AK} /též U_p / asi 1,2 V vede k okamžité výkonové strátě $P_{AK} = 18 \text{ W}$.

Mimořádně nepříznivě se však uplatňuje zatajovací doba t_{rr} , zvětšující přepínačí stráty měniče. V jejím důsledku je při zapnutí VT 1 zvyšovací dioda zavírána se spožděním /rekombinační jev/. V tomto přechodovém intervalu vlastní dioda představuje pro spinaci tranzistor skrat, protože jí prochází značný proudový impuls /a to ztrátový/ v závěrném směru. Doba spoždění by tedy měla být co nejkratší. Na druhé straně je však žádoucí, aby se zatajovací charakteristika vrácela povlovněji ke statické velikosti závěrného proudu, což umožní snadnější kmitočtové odrušení zdroje. Mezi oběma požadavky je nutné volit kompromis. Ve všech případech má rekombinační čas t_{rr} dominantní podíl na

celkových strátách a tím i účinnosti měniče. Z těchto důvodů jsou běžné křemíkové diody pro všeobecné použití /KY 130, KY 708 atp./ nevhodné. V nejlepším případě dosahovaný čas t_{rr} okolo 1000 ns je určuje k původnímu účelu, tj. usměrňování siťového kmitočtu 50 Hz.

Poněkud lepší, i když ne zcela ideální, jsou v katalogu Tesla uváděné rychlé křemíkové usměrňovací diody KY 189 a KY 190, popř. další diody této řady /KY 193 atd./. Přesto však při kmitočtech nad 20 kHz vlivem strát již znatelně hřejí a je nutné jejich umístění na chladič.

Z perspektivních prvků tuzemské výroby je třeba uvést dva typy, a to velmi rychlé spinaci epitaxní diody a výkonové Schottkyho usměrňovací diody.

Velmi rychlá epitaxní dioda KYW 31 se vyznačuje snížením čelního napětí na hodnotu $U_r = 0,85$ V při proudu $I_F = 20$ A, závěrná zotavovací doba t_{rr} je typicky 50 ns, maximálně 100 ns. Dioda patří mezi typy s povlovnou zotavovací charakteristikou /angl. označení soft recovery/.

Schottkyho usměrňovací diody KYS 26 a KYS 30 se vyznačují ještě nižším čelním napětím $U_f = 0,6$ V /pro KYS 26 při proudu $I_F = 3$ A, pro KYS 30 při $I_F = 30$ A/. Zotavovací doby jsou srovnatelné s epitaxními diodami, zotavovací charakteristika je však příkřejší a rychleji se vraci ke statické hodnotě závěrného proudu /angl. označení fast recovery/. Pro Schottkyho diody je charakteristické poněkud nižší závěrné napětí U_{RR} asi 30 až 40 V, které vymezuje jejich použití na oblast zdrojů nižšího napětí.

Dalším důležitým prvkem výkonové části spinených zdrojů jsou

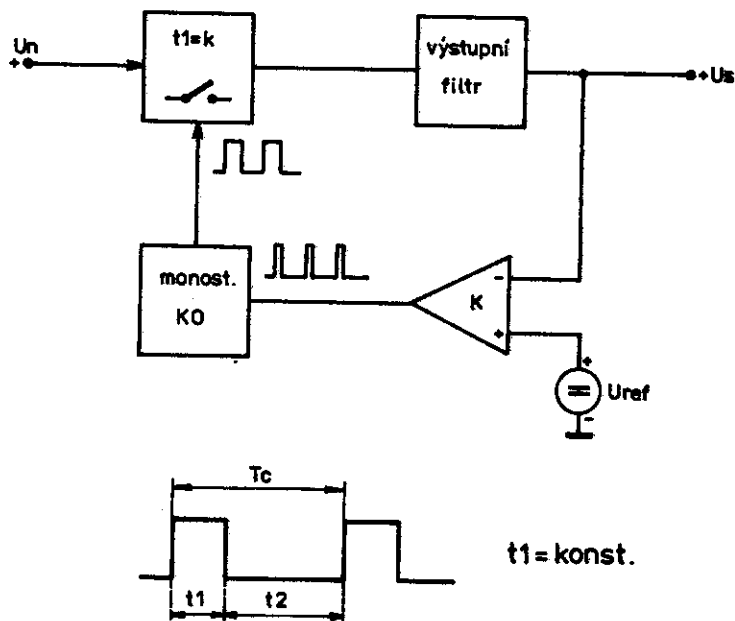
vstupní a filtrační kondenzátory. Z důvodů dokonalé filtrace jsou potřebné kondenzátory s co největší kapacitou, to znamená elektrolytické. Vlastnosti a vhodnost určitého typu kondenzátoru je však nutno posuzovat z hlediska použitého kmitočtu, tedy náhradního schématu kondenzátoru. Vliv parazitních prvků /především parazitní indukčnosti/ je možné omezit paralelním spojováním kondenzátorů menší kapacity do baterie, která se navíc doplní svitkovými a keramickými blokovacími kondenzátory. Jde o obdobu známé "širokopásmové blokovací kombinace". Z amatérského hlediska je toto řešení nejlevnější a nejúčinnější, protože nevyžaduje drahé speciální či často doporučované ještě dražší tantalové kondenzátory. Popsané provedení kondenzátorové baterie má dobrý vliv i na snížení hladiny rušení na výstupu zdroje.

2.2.5 Řídící obvody měničů

Řídící obvody /též impulsní regulátory/ mají za úkol převést změny výstupního napětí měniče na změny parametrů budicích impulsů výkonového spínače. Pro měniče napájené z akumulátoru má ji význam především dve základní způsoby regulace.

První z nich, znázorněný blokově na obr.15, se označuje jako regulace s proměnným kmitočtem. Interval sepnutí t_1 je pevně určen monostabilním klopným obvodem, startovaným změnou napětí na vstupu komparátoru K. Jakmile se napětí U_s zmenší pod U_{ref} , je vybaven budicí impuls konstantní délky t_1 pro výkonový spínač. Regulovaný interval t_2 trvá tak dlouho, dokud se napětí U_s opět nezmenší pod U_{ref} . Trvání intervalu t_2 je tedy závislé na změnách zátěže. Změna zatěžovacího proudu má za následek změnu intervalu t_2 , tudíž i periody T_c . Tomu odpovídá i změna

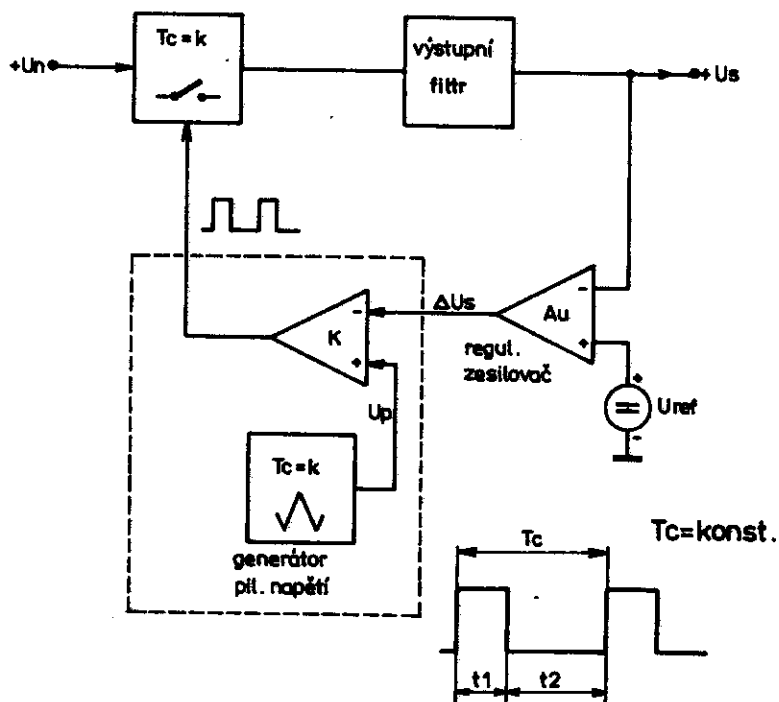
kmitočtu t_c . Regulátory tohoto typu lze snadno konstruovat z diskretních součástek, lze však s výhodou využít např. i integrovaný obvod MAA 723, který obsahuje základní dílčí části regulátoru [2].



Obr.15 Regulace s proměnným kmitočtem

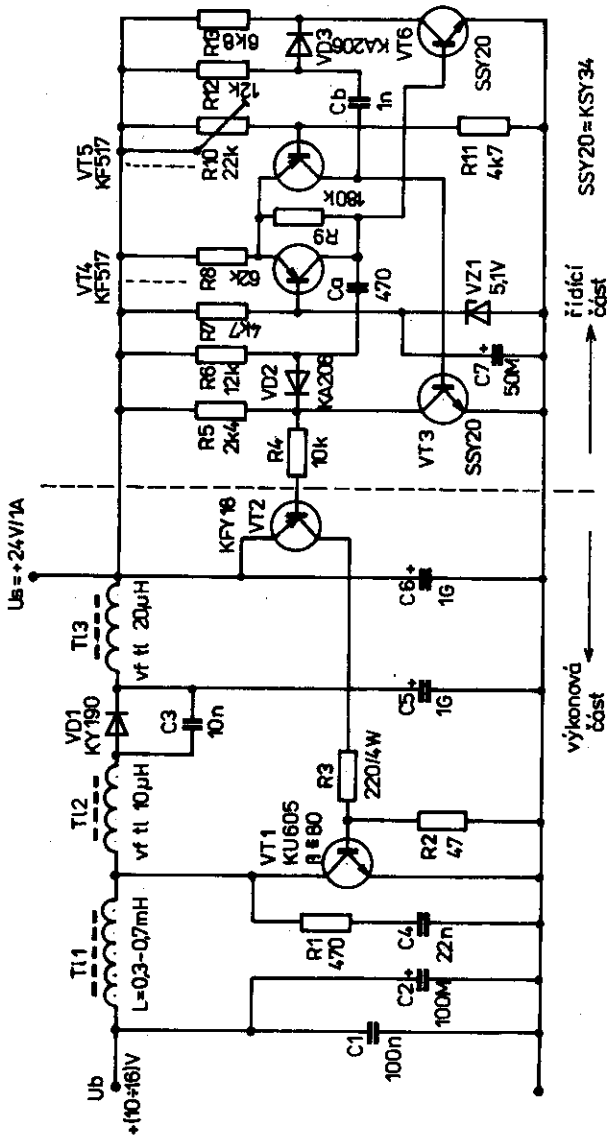
Regulátory s konstantním kmitočtem, tudíž s konstantní periodou T_c , využívají změny impulsního poměru intervalů t_1 a t_2 . Princip je znázorněn na blokovém schématu na obr.16. Jádrem zapojení je napěťový komparátor K , srovnávající napětí pilovitého průběhu konstantního kmitočtu U_p a zesílenou regulační odchylkou ΔU_s . Šířka takto vytvořených budicích impulsů na výstupu kom-

parátoru je úměrná velikosti a amyslu regulační odchylky. Se zmenšováním U_s se interval sepnutí t_1 rozšiřuje a t_2 zužuje, při zvětšování U_s je tomu naopak. Tento způsob regulace je vhodný i pro větší výkony.



Obr.16 Regulace s konstantním hmitičtem

I když je v zásadě možné skonstruovat i tento regulátor z diskretních součástek, nejeví se v současné době toto řešení jako optimální. Do ČSSR je totiž dovážen výborný monolitický regulátor B 260 výroby NDR /ekvivalent TDA 1060/, který má kromě základních ještě řadu doplňkových funkcí /např. jištění, blokování/.



2.2.6 Praktické příklady impulsních měničů

Následující příklady byly převzaty z časopisu NDR Funkamateur a z větší části ověřeny s použitím tuzemských součástek.

Na obr.17 je původní verze měniče podle návrhu Y230J [3]. Je to typ měniče s proměnným kmitočtem. Při nezatíženém měniči je základní kmitočet asi 8 kHz, se zvyšujícím se odběrem kmitočet stoupá. Indukčnost akumulační tlumivky není příliš kritická. K realizaci tlumivky použijeme feritové hrncové jádro Ø 36 mm z hmoty H 22 nebo H 11 se vzduchovou mezerou asi 1 mm. Pro uváděné odběry vyhoví s rezervou, je možné uvažovat i o menším jádru Ø 26 mm. Rozhodující je vždy tepločita jádra při praktickém provozu.

Počet závitů vypočítáme z A_L konstanty, uvedené na jádře, podle vzorce

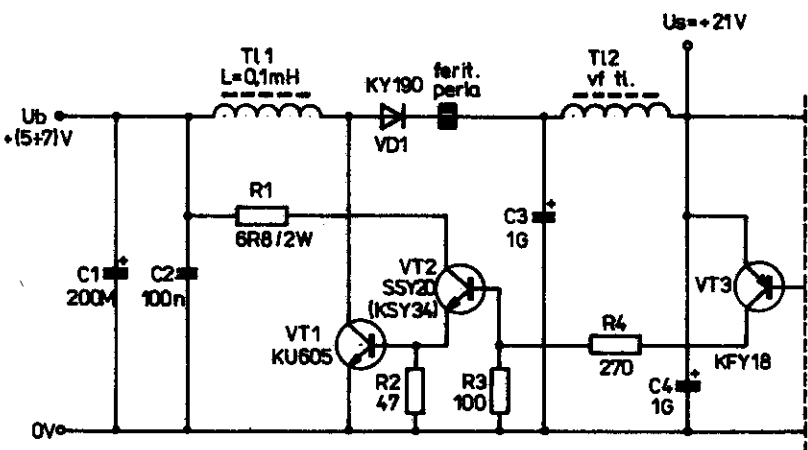
$$n = \sqrt{\frac{L}{A_L}} \quad [Z; \text{nH} ; \text{nH/Z}^2]$$

Důležité je nepřehlédnout, že indukčnost se do vzorce dosazuje v nH - /nanohenry/. Volíme co největší průřez vodiče /lépe skládeného lanca, např. 8 x 0,63 mm CuU/ a využijeme plně prostoru pro vinutí.

Na obr.18 je varianta výkonové části při napájení z autobaterie 6 V. Indukčnost akumulační tlumivky je nutno oproti předchozímu příkladu zmenšit a spínač provést v Darlingtonově zapojení. V tom případě vyhoví i výkonový tranzistor s nižším zesílením.

Na původním zapojení měniče podle obr.17 s výkonovou částí podle obr.18 bylo experimentálně ověřováno zvýšení zatížitelnosti měniče pro větší odběry. Indukčnost akumulační tlumivky

T_{L1} byla zvolena $36 \mu\text{H}$. Tlumivka byla navinuta na hrncovém jádře Ø 36 mm z hmoty H 22, s konstantou $A_L = 630$. Vinutí mělo 7,5 závitů dvojitým vodičem opředeným bavlnou o průměru 1,4 mm.



Obr.18 Výkonová část měniče podle Y230J pM kapájení 6 V

Výsledky jsou uvedeny v tab.6, maximální zatěžovací proud je uváděn pro pokles výstupního napětí na 95% původně nastavené hodnoty. Kapacita vstupního i výstupního kondenzátoru /C1 a C4/

Tabulka 6. Výsledky měření měniče podle obr.17 s výkonovou částí podle obr.18

Měnič	I výst. max.	C _a	C _b
12 na 24 V	3 A	120 pF	470 pF
6 na 12 V	3 A	120 pF	470 pF
6 na 24 V	1,2 A	68 pF	1,5 nF

Akumulační tlumivka $36 \mu\text{H}$, hrncové jádro H 22 Ø 36 mm,
 $A_L = 630$
 7,5 záv. 2 x 1,4 mm bavlna

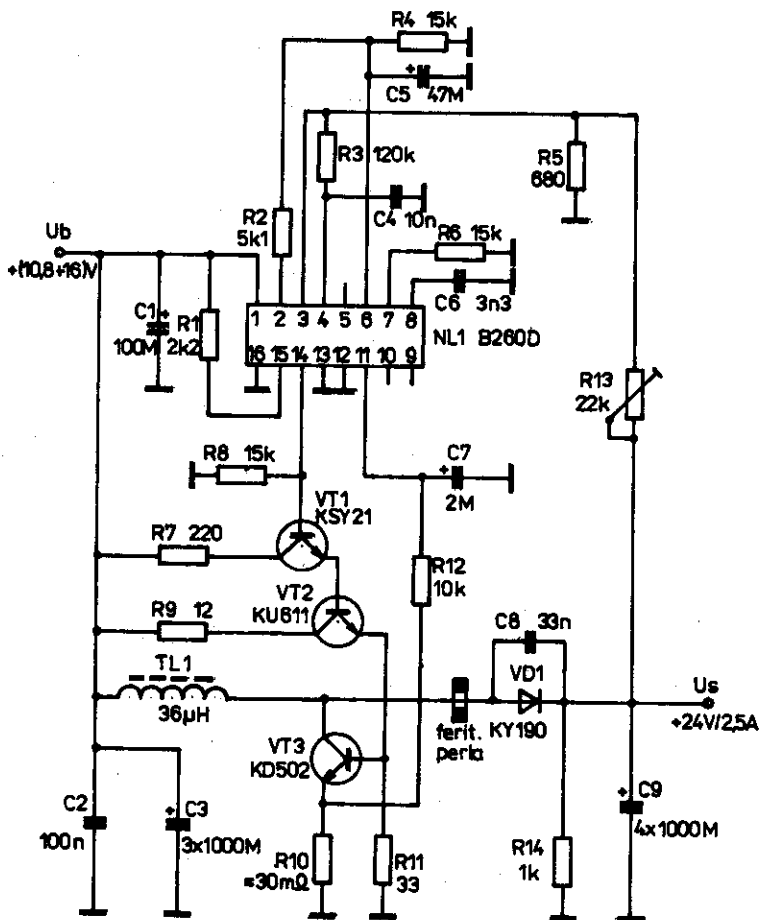
byla zvýšena na $4000 \mu F$, tj. $4 \times 1000 \mu F$ paralelně. Výkonová část, tj. tranzistory VT1 a VT2, byla osazena typy KD 501/KU 611. Hodnoty kondenzátorů /kmitočet a impulsní poměr signálu řídicího multivibrátoru/ byly nastaveny experimentálně s ohledem na maximální výstupní proud.

Při tomto ověřování nebyla sledována účinnost, přesto však je zřejmé, že největší straty vznikaly na diodě KY 190, která při zvýšení kmitočtu nad 15 kHz již silně hřála a vyžadovala umístění na chladič. Ohřev hrncového jádra byl nepatrný, výkonový tranzistor měl při maximálním odběru teplotu asi 50°C . V době ověřování /rok 1982/ nebyly ještě dostupné diody KYW 31. Přesto je od té doby měnič v uvedeném zapojení používán v mobilním provozu bez jediné závady.

Příkladem měniče s konstantním kmitočtem je zapojení na obr. 19, opět převzaté od Y230J. Výkonová část /tranzistory VT1, VT2 a VT3/ je obdobná předešlému příkladu, povšimněme si proto blíže možností, které nám nabízí integrovaný obvod NL 1 typu B 260, který obsahuje úplný impulsní regulátor.

Regulační kmitočet je určen rezistorem R_6 a kondenzátorem C_6 připojeným k vývodům 7 a 8 integrovaného obvodu. Člen $R_4 C_5$ na vývodu 6 určuje časovou konstantu tzv. zpomaleného startu. Po klese- li napájecí napětí integrovaného obvodu krátkodobě pod hodnotu $9,4 \text{ V}$, regulátor odpojuje buzení výkonové části a následuje opět zpomalený náběh měniče. Velikostí odporu R_3 se nastavuje zesílení regulačního zesilovače /až 60 dB . Kapacita C_4 blokuje regulační systém proti samovolnému rozkmitání.

Integrovaný regulační obvod B260D umožňuje též jištění měniče proti některým poruchovým stavům:



Obr.19 Měnič s mědiciem regulátorem B260

Při zvýšení výstupního napětí, např. při přerušení rezistoru R_5 , se automaticky sníží impulsní poměr budicího signálu. Totéž nastane při zvýšení napětí na vývodu 3 na více než 0,6 V.

Vstup snímače proudového omezení je na vývodu 11. Překročí-li napětí na tomto vývodu hodnotu +0,48 V, je plynule snižován impulsní poměr budicího signálu. Při překročení meze 0,6 V /velký odebíraný proud nebo zkrat na výstupu/ je obvod vypnut. Po odstranění zkratu resp. extrémního proudu následuje opět zpomalený start. V zapojení na obr.19 je takto jištěn mezní proud výkonového tranzistoru KD 502 / $I_c \max = 20 \text{ A}$. K jištění proti přepětí na vstupu nebo výstupu měniče obsahuje regulátor obvod, jehož vstup je na vývodu 13. K zablokování budicích impulsů dochází opět při napětí 0,6 V. V tomto případě však není při opětovném zapnutí zajištěn zpomalený náběh restartu.

Obvod lze řídit externím synchronizačním kmitočtem přiváděným na vývod 9 /synchronizace většího počtu měničů nebo aplikace obvodu ve spinaných zdrojích televizních přijímačů/.

Dálkově lze obvod vypínat uzemněním vývodu 10. Tento vstup je kompatibilní s logikou TTL.

Integrovaný obvod B260D je stavebním prvkem, který umožňuje i v amatérských podmírkách konstrukci měničů vysoké kvality.

2.2.7 Měnič 12 V/24 V s impulsním transformátorem

V řadě případů není nutno napájet mobilní amatérská zařízení napětím s vysokým činitelem stabilizace a připouští se i určité zvlnění výstupního napětí. V takovém případě je možno použít zjednodušené zapojení blokujícího měniče s vlastním buzením. Příklad praktického zapojení od Y22QN je na obr.20. Všechny

součástky lze nahradit čs. ekvivalenty. Je uváděna účinnost 80%.

Pro výpočet lze použít následující vztahy:

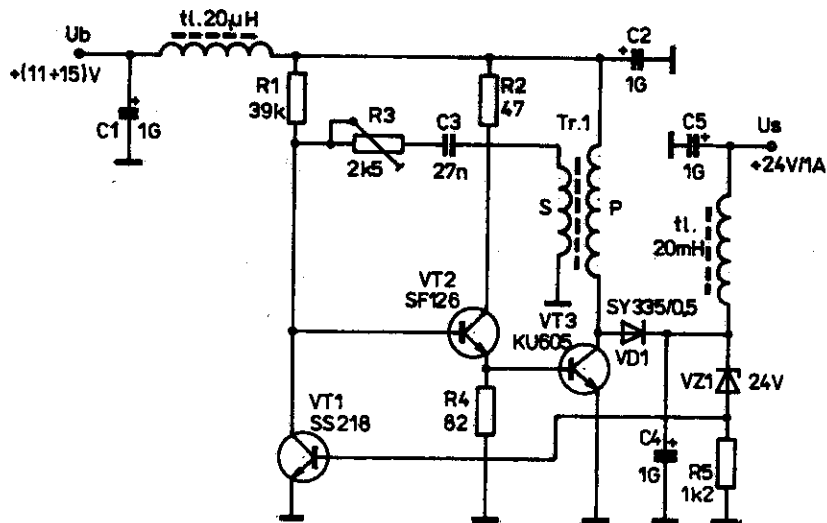
$$U_p = U_b - \Delta U_b \quad /1/$$

kde U_p je pracovní napětí na primáru transformátoru, U_b napětí baterie a ΔU_b součet úbytků napětí na přívodech a spínacím prvku.

$$P_2 = \frac{U_p}{U_2} \quad /2/$$

kde U_2 je požadované výstupní napětí, P_2 pak poměr doby rozepnutí t_2 k celkové periodě T , tedy

$$P_2 = \frac{t_2}{T} \quad \text{kde } T = \frac{1}{f} \quad /3/$$



Obr.20 Měnič 12/24 V dle Y22QW

Impulsní transformátor Tr.: Hracové jádro H22 ⌀ 26 mm, $A_L = 400$.
Primář: 27 sáv. ⌀ 1 mm CuJ, sekundár 9 sáv. ⌀ 0,3 mm CuJ

$$t_1 = T - t_2$$

/4/

Výstupní proud I_2 určíme z požadovaného výstupního výkonu P_2

$$I_2 = \frac{P_2}{U_2}$$

/5/

Proud indukčnosti /primárním vinutím/

$$I_L = \frac{1}{p_2} \cdot I_2$$

/6/

Maximální proud primárním vinutím ovšem nesmí překročit $I_{c\ max}$ spínacího transistoru, tedy

$$I_{p\ max} = \frac{2 P_2}{t_1 \cdot U_p \cdot f} < I_{c\ max}$$

/7/

Proudovou směnu v primárním vinutí volíme

$$I_L = \frac{I_{p\ max}}{4}$$

/8/

Napětí $U_{CE\ max}$ spínacího transistoru volíme jako

$$U_{CE\ max} = 2 U_2$$

/9/

Indukčnost primárního vinutí

$$L_p = \frac{(U_2 - U_p) \cdot U_p}{I_L \cdot f \cdot U_2} \cdot \eta$$

/10/

kde η je předpokládaná účinnost /0,8 až 0,9/.

Počet závitů primárního vinutí je

$$n_p = \sqrt{\frac{L_p}{A_L}}, \text{ udáno v nanohenry}$$

/11/

jádro včetně vzduchové mezery dimensujeme podle dříve uvedených vztahů v závislosti na přenášeném výkonu.

Počet závitů sekundárního /řídícího/ vinutí

$$n_s = \frac{n_p \cdot U_R \cdot R_p}{U_b - I_{p\ max}}$$

/12/

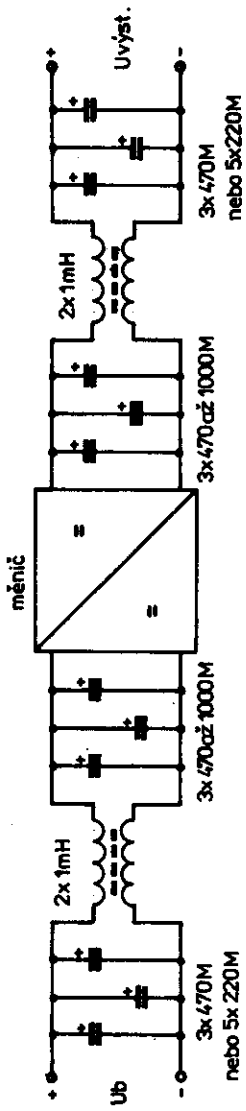
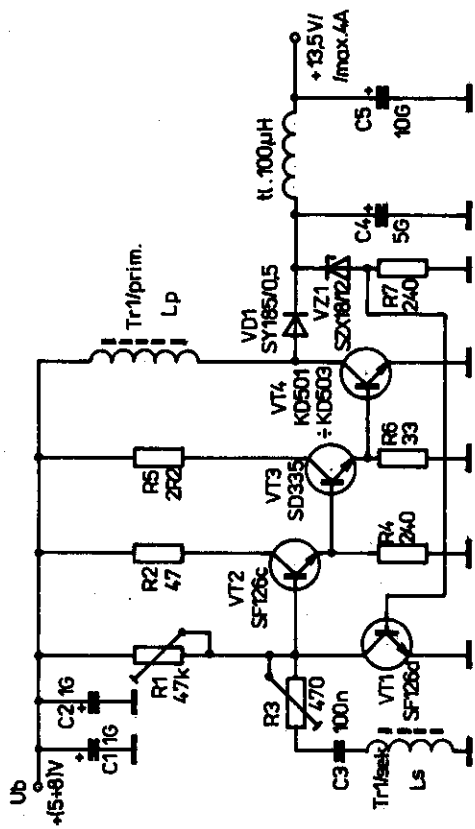
kde U_R je spínací napětí na bázi VT2, potřebné k úplné saturaci VT3 plus úbytek napětí na rezistoru R_3 /4 až 6 V/, R_p je ztrátový odpor primárního vinutí s případným započítáním vlivu skin-efektu při vyšších kmitočtech.

2.2.8 Měnič 6 V/12 V dle návrhu Y22QN

Zapojení tohoto měniče je na obr.21. I když palubní vozidlová síť s napětím 6 V je stále méně používána, můžeme si na tomto možno říci extrémním řešení měniče názorně vysvětlit některé problémy a konstrukční zásady, nastiněné v předešlých odstavcích.

Funkce měniče je v principu shodná se zapojením na obr.20. Požadujeme výstupní výkon 50 W. Při poměrně nízkém vstupním napětí 6 V bude i účinnost nízká a nepřevyší 60%, protože již úbytek napětí na hlavním spínacím prvku VT4 /saturační napětí asi 0,75 V/ představuje 15% vstupního napětí. Po přepočtu podle dříve uvedených vzorců zjistíme, že výstupnímu proudu měniče 3 A odpovídá při vstupním napětí 5 V /částečně vybitá baterie/ kolektorový proud spinače VT4 asi 22 A, což je v podstatě mezní proud použitého typu KD 501 - 503.

Aby bylo možno dosáhnout co nejnižšího saturačního napětí na VT4, je použito dokonce "trojitého" Darlingtonova zapojení /SF 126, SD 335 a KD 501/, ovšem toto tzv. výkonové buzení jde také na účet ztrát. Vzhledem ke značnému kolektorovému proudu a pracovnímu kmitočtu asi 15 kHz je nutné primární vinutí impulsního transformátoru dimenzovat nejen proudově, ale i s ohledem



Obr. 23 Měnič 6/12 V dle Y223P
Impedanční transformátor TR: Jihlava 355 Maříkov 153, $A_L = 2000$. Prádlo 4 sínv. lantky
 $12 \times 0,6 \text{ mm}^2$ CuJ, sekundář 4 sínv. $0,6 \text{ mm}^2$ CuJ
nebo 5x 220 M

na skinefekt. Vinutí je proto provedeno rukodělně zhotoveným lankem, a to 12 vzájemně stočených vodičů o průměru 0,8 mm CuU. Toto dimenzování samo o sobě již odpovídá mnohém.

V původní konstrukci je použito jádro EE 55 z hmoty Manifer 183, podle autora Y22QN vhodné až do 180 W výstupního výkonu. Menší typ EE42/15 je použitelný do 60 W výstupního výkonu. Těžko jádrům nejblíže odpovídají čs. feritová jádra E55 a E42 z hmoty H22 se vzduchovou mezzerou 0,1 mm. Vhodnější by ovšem byla modernější jádra EC z materiálu H21, určená pro měniče.

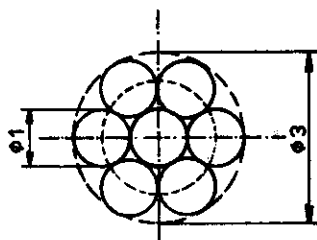
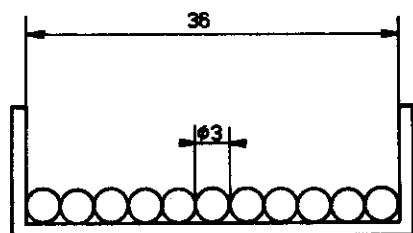
Zvláštní zmínku si vyžadují odrušovací členy na vstupu a výstupu měniče. Zásadní význam zde má paralelní spojení kondenzátorů menších kapacit, čímž se snižuje vliv parazitní indukčnosti jejich přívodů. Zařazení tlumivek 2×1 mH je též vhodné, má však vliv na celkovou účinnost měniče. To se týká především vstupní tlumivky. Realizace předepsané indukčnosti při požadavku co nejmenšího úbytku napětí na ní /při kolektorovém proudu až 22 A!/ není jednoduchou ani miniaturní záležitostí. V původním pramenu [5] autor konkrétní provedení tlumivky bohužel neuvádí. Je proto na místě alespoň zde uvést praktickou úvahu s názorným příkladem.

Příklad:

Požadujeme tlumivku 2×1 mH s minimálním úbytkem napětí při protékajícím stejnosměrném proudu 25 A. Z jader čs. výroby zvolíme jádro E55 z hmoty H22, bez vzduchové mezery, s konstantou $A_L = 6500 \text{ nH} \cdot \text{z}^{-2}$. Na tomto jádře lze požadovanou indukčnost realizovat podle dříve uvedených vzorců vinutím 2×12 závitů vodiče příslušně dimenzovaného pro požadovaný proud. Toto dimenzování je právě kamenem úrazu při praktické realizaci.

Dané jádro má využitelný prostor pro vinutí, tzv. okénko, o rozměru 36×10 mm. Po odečtení tloušťky materiálu pro cívkovou kostřičku můžeme počítat s prakticky využitelným prostorem $36 \text{ mm} \times 8 \text{ mm}$. Z geometrických rozměrů jádra lze určit délku středního závitu na 100 mm , pro 24 závitů bude tedy délka vodiče, na kterém vzniká celkový úbytek nepětí, rovna $2,4 \text{ m}$.

1. Řešení: Do okénka uspořádáme vinutí ve dvou vrstvách po 12 závitech, více vrstev s ohledem na přehyb vodičů na okraji kostry nelze realizovat. Do délky okénka 36 mm umístíme tedy



Obr.22 Uspořádání vinutí vstupní
tlumivky měniče

12 vodičů kruhového průřezu o průměru 3 mm /obr.22/. Tverování souběžného vinutí dvou vodičů s průměrem 3 mm je ovšem obtížné, použijeme proto opět rukodělně vyrobené lenka. Do kružnice o

průměru 3 mm lze vepsat 7 malých kružnic s průměrem 1 mm, přesto, s ohledem na prostorovou rezervu, musíme zvolit vodiče Ø 0,8 mm. Vyrobené lanko bude tedy zhotoveno ze 7 vodičů o průměru 0,8 mm, z toho vyplývá celkový průřez $3,5 \text{ mm}^2$. Měděný vodič s tímto průřezem bude mít při celkové délce 2,4 m odpor 12,25 mΩ, tomu při předpokládaném maximálním proudu 25 A odpovídá úbytek napětí 0,3 V. Tento úbytek při nízkém vstupním napětí kolem 5 V již znamená značnou újmu pro účinnost měniče. Krom toho, vzhledem ke značné proudové hustotě, lze předpokládat zvýšený ohřev vinutí.

2. Řešení: Pro vinutí použijeme měděný pás tloušťky 0,3 mm, široký 35 mm. Do využitelné výšky okénka jej lze umístit pohodlně včetně nezbytného proklaďu z teflonové nebo jiné fólie, odolávající vyšším teplotám. Vývody pásu lze provést jako stranové, protože není nutno použít cívkovou kostru s čely. Průřez pásu je $10,5 \text{ mm}^2$, tomu při délce vinutí 2,4 m odpovídá celkový odpór 4 mΩ. Úbytek napětí na vinutí při proudu 25 A bude tedy 0,1 V, což je již pro výslednou účinnost měniče přijatelná hodnota.

Toto praktické řešení lze samozřejmě využít i při realizaci akumulační tlumivky nebo impulsního transformátoru. Předpokladem je ovšem použití E nebo EC jader. U hrncových jader je problém vyvedení pásového vinutí.

Tolik tedy ke konstrukčnímu provedení nezbytných indukčnosti výkonového měniče s nízkým vstupním napětím. Nutnost umístění měniče spolu s odrušovacími členy do uzavřeného stínicího krytu není jistě nutno zdůrazňovat.

3. ODRUŠOVÁNÍ RADIOSTANIC V MOTOROVÉM VOZIDLE

Radiostanice a motorové vozidlo tvoří uzavřený, vzájemně vázaný systém, pro který platí zásady elektromagnetické slučitelnosti. Předpokládáme samozřejmě, že vlastní radiostanice včetně antény je pevně zabudována ve vozidle, napájena z palubní sítě a je schopna plného provozu za pohybu vozidla. V takovém případě hovoříme o mobilní radiostanici.

Vzájemné působení radiostanice a vozidla se projevuje především rušením, které může mít různou intenzitu a charakter. Toto působení můžeme zhruba rozdělit podle zdroje rušení takto:

- a/ zdroj rušení je vnější /neodrušené cizí vozidlo atd./
- b/ zdrojem rušení je vlastní radiostanice nebo její část /měnič napětí/
- c/ zdrojem rušení je elektrický okruh vozidla nebo jeho podstatné části.

Z časového hlediska můžeme rozdělit rušení na krátkodobé či nahodilé a rušení trvalé.

Krátkodobé rušení je prakticky neodstranitelné, jde vesměs o případy uvedené pod a/. Je zřejmé, že jen těžko můžeme přimět řidiče předjížděného motocyklu, aby kvůli nám vyměnil kabel k zapalovací svíčce, stejně tak je nepravděpodobné, že někdy požádáme příslušníka dopravní služby VB, aby přerušil provoz služební radiostanice, protože nám působí intermodulační rušení.

V teakových případech nahodilého rušení platí jediná zásada, a to co nejdříve se od zdroje rušení vzdálit.

Do této kategorie patří i případ náležející pod b/, kdy v ře energie produkovaná naší radiostanicí ovlivní krátkodobě /opět intermodulací/ funkci rozhlasového autopřijímače v blízkém cizím vozidle. Ani zde není nutno provádět zvláštní zásahy.

Pod b/ však patří i vlivy, se kterými je nutno stále více v nejbližší budoucnosti počítat. V moderních automobilech se ve značné míře se silně vzestupným trendem uplatňují elektronické prvky a systémy, které mohou být v ře energií, vyzařovanou vlastní radiostanicí, ovliveny natolik, že dojde k poruše či blokádě jejich funkce. I když je tato možnost v našich podmínkách zatím spíše hypotetická, je nutno se o ní zmínit. Je však pravděpodobné, že nejlepší zárukou ochrany automobilové elektroniky před rušením bude sama existence zapalovací soustavy benzínového motoru, která ve své podstatě zřejmě přetrívá a jejímuž působení budou muset být podřízeny i složitější elektronické systémy.

Mezi zdroje rušení s krátkodobým charakterem, které nevyžadují zvláštní opatření, zahrnujeme i některé části elektrické palubní sítě vozidla. Jde především o všechny světlé okruhy a tepelné spotřebiče, u nichž rušivý impuls může vzniknout pouze při jejich zapnutí či vypnutí. Předmětem diskuse zde může být přerušovač směrových světel, ale ani ten obyčejně neodrušujeme. Pokud je vliv znatelný, je odrušení kontaktu přerušovače velmi jednoduché /blokovací kondenzátor/. Ke zdrojům rušení s krátkodobým projevem patří i některé rotační spotřebiče /elektromotor-

ky/ navíc, se kterými u běžného automobilu nepočítáme, např. elektrické vysouvání oken, autoantény.

Rotačním spotřebičem s velmi vysokou amplitudou rušivých impulů je elektrický spouštěč motoru /startér/. Jeho činnost z hlediska rušení je sice krátkodobá, nelze však pominout působení rušivých impulů na palubní síť vozidla, tedy i vestavěnou radiostanici a její citlivější části. Protože spouštěč sám z důvodu energetických ztrát nelze oddělit od vozidlového akumulátoru a palubní sítě žádným přiměřeným odrůšovacím členem, je nutná ochrana vlastní radiostanice. Ochranný obvod pro přímé napájení z palubní sítě byl již popsán a znázorněn na obr.10. V případě nepřímého napájení z měniče napětí působí jako oddělovací prvek měnič, ten je však sám zdrojem trvalého rušení. Proto další popis zdrojů rušení a způsobů jeho odstranění začneme od této důležité části.

3.1 ODRUŠENÍ MĚNIČŮ NAPĚTI

V kapitole o měničích napětí bylo uvedeno, že zdrojem rušení je vždy výkonová část měniče, pracující ve spinacím režimu. Platí to jak pro starší typy měničů, tak i moderní konstrukce s impulsními regulátory. Spinací proudové impulsy /se strmostí řádově až tisíce A za sekundu/ se projeví intenzivním rušením, jehož spektrum sečíná v oblasti akustických kmitočtů /zhruba 10 kHz/ a dosahuje až do oblasti VHF.

Rušení se řídí v zásadě dvěma cestami, a to vysokofrekvenčním vyzařováním v případě vyšších harmonických spektra, za druhé

pak palubní sítí vozidla v případě akustických a částečně i ultrazvukových kmitočtů. Tyto dva hlavní způsoby si můžeme v souladu s osvědčenou radioamatérskou terminologií označit jako

BCI /z angl. broadcasting interference/ čili vysokofrekvenční rušení rozhlasových kmitočtů až do pásmu VHF a

AFI /z angl. audio frequency interference/ - nízkofrekvenční rušení v oblasti akustických kmitočtů. Toto rozdělení budeme používat nejen v případě měničů, ale i v dalším textu.

V případě měničů pracujících v horní oblasti akustických kmitočtů nebo v oblasti ultrazvukové /dnes nejčastější řešení/ jde o oba způsoby, tj. AFI i BCI, přičemž intenzita rušení při vyšších kmitočtech v oblasti VHF již klesá. Protože má rušení širokopásmový charakter, musí být i odrušovací členy širokopásmové. Do jisté míry rozdílně se projevuje primární část měniče připojená k palubní síti a část sekundární, napájející radiostanici.

3.1.1 Odrušení primární části měniče

V primární části vznikající rušení má spíše charakter AFI, vyšší kmitočky jsou tlumeny palubní sítí a připojeným akumulátorem. Platí zásada přímého a co nejkratšího připojení ke svorkám akumulátoru. V případě delších vodičů je třeba kompenzovat straty na nich vzniklé úměrným zvětšením jejich průřezu, to se pozitivně projeví i z hlediska rušení. Velmi důležité je provedení vstupních kapacit měniče /paralelní spojování kondenzátorů, širokopásmová blokovací kombinace/, jak bylo zdůrazněno v části 2.2.4, stejně tak i provedení vstupní tlumivky. V pří-

padě, kdy tato opatření nepostačí, lze při respektování primárního odběru zaředit před vstupní svorky měniče průchodkový odrušovací kondenzátor /např. WK 71342, uvedený v tab.8/.

Jako společný vodič se nedoporučuje použít kostru vozidla, protože nikdy předem odhadnout, který spoj kostry bude dříve či později narušen korozí. Právě proto je nejlepší připojit měnič lanovými vodiči přímo na svorky akumulátoru, jak již bylo zdůrazněno. K rozlišení polarity se doporučuje použití červené /plus/ a modré /minus/ barvy izolačního pláště.

3.1.2 Odrušení sekundérní části měniče

V sekundérní části, napájející radiostanici, má rušení spíše charakter BCI. Princip odrušení je zhruba stejný jako pro primární část, protože všecky odrušovací členy obvykle není nutno natolik dimenzovat z hlediska proudového odběru, máme rezervu pro důslednější filtrace výstupního napětí.

Ovšem i zbytkové AFI v sekundérní části dokáže způsobit v některých obvodech radiostanice řadu nežádoucích vlivů. Obyčejně se neprojeví v režimu příjmu /zde působí spíše BCI/, ale při vysílání, kdy je odběr větší a měnič pracuje s plným výkonem. Postižen bývá modulační zesilovač, někdy přímo varikap v případě přímé modulace FM, často i oscilátory. Velmi citlivý na AFI je fázový závěs, pokud je použit v kmitočtové ústředně. Na tyto vlivy je nutno pamatovat již při konstrukci radiostanice a chránit zminěné obvody důslednou filtrace a separátními stabilizátory.

Pro potlačení BCI platí zásady společné pro všechny měniče. Za prvé použít na impulsení transformátor nebo akumulační tlumicu.

mívku jádro magneticky uzavřené, to znamená v pořadí kvality jádro toroidní, hrncové, kružové a posléze typy EE. Protože použití typů EE nebo EC se v případě vyšších výkonů nevyhneme, je vhodné jejich samostatné magnetické stínění. Za druhé je třeba potlačit vyzařování úplným uzavřením celého měniče do krytu z dobře vodivého materiálu, lépe silnějšího než slabšího. Vhodnější než kuprexitit je hliníkový plech, který můžeme kombinovat s chladičem výkonové části. Dále použijeme pro vývod vstupního i výstupního napětí přiměřeně proudově dimenzované průchodkové kondenzátory.

Pokud se budeme řídit těmito zásadami, může být v řadě případů měnič vestavěn do vlastní radiostanice /zejména v případě FM/, aniž se to nepříznivě projeví na její funkci.

3.2 RUŠENÍ ZPŮSOBENÉ PALUBNÍ SÍTI VOZIDLA

Některé elektrické obvody vozidla, především pak zapalovací soustava motoru, jsou zdrojem intenzivního rušení s dlouhodobým charakterem. Jde především o výrušení BCI, rušení AFI je zastoupeno v daleko menší míře.

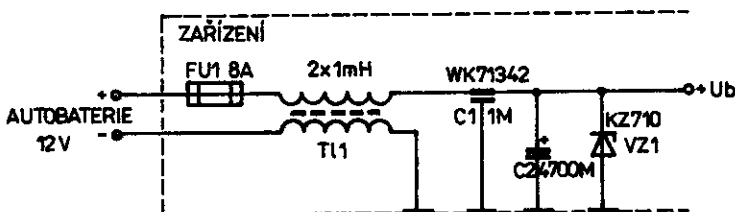
V první řadě je třeba uvážit možnost, jak lze rušení co nejvíce omezit na straně radiostanice. Do radiostanice může rušivý signál proniknout těmito cestami:

- a/ nedokonale stínící nebo vůbec nestínící skříňkou
- b/ po napájecích přívodech
- c/ po mikrofonním vstupu
- d/ po reproduktorovém výstupu
- e/ anténním přívodem

Případ uvedený pod a/ by se snad neměl vyskytovat nikdy.

Vždyť i autopřijímače nejnižší jakostní třídy jsou umístěny do stínícího plechového krytu, tím spíše jej použije cti dbalý radiamatérský konstruktér.

Případ b/ byl již dostatečně probrán v kapitole 3.1. I v případě přímého napájení z palubní sítě je možné BCI zamezit vystavěným v řídícího členem podle obr.23, nebo použít hotový filtr WN 85201 /tab.8/.



Obr.23 Odrušovací a ochranný obvod do napájecího přivedu radiostanice
Pozn.: Tlumivky 1 mH vložit bifilárně, dimenzovat proudově,
viz odst. 2.2.8

Rušení indukované do mikrofonního přívodu uvedené pod c/ lze eliminovat zafazením v řídícího člena bezprostředně za mikrofonní konektor. Toto opatření se nevyplatí podceňovat ani z hlediska obecného /stacionárního/ provozu; v řídícího člena antény, detekovaný v mikrofonním zesilovači, způsobí snadno úpornou skustickou zpětnou vazbu, která se snad hodí do lunaparku, ale již méně na amatérské pásmo.

Případ rušení, uvedený pod d/, může vzniknout tehdy, je-li reproduktor umístěn mimo radiostanici nebo použijeme-li přidavný reproduktor s delším přívodem. Nebyvá častý a snadno ho odstra-

níme zablokováním reproduktorového výstupu přímo na konektoru /kondenzátor asi 10 nF/.

3.2.1 Rušení pronikající anténním přívodem

Úvahu o průniku rušení anténním přívodem úmyslně ponecháváme vzhledem k důležitosti na závěr výčtu. Vyjdeme z předpokladu, že posuzovaný automobil má celokovovou karosérii, jejíž všechny části jsou vodivě propojeny. Z hlediska šíření rádiového signálu a tedy i ECI je kovová kostra automobilu Faradayovou kleci, ve které jsou umístěny zdroje nejintenzívnejšího rušení, především celá zapalovací soustava benzínového motoru. Nad povrch karosérie pronikají všelijaké rušení minimálně, takže rušivé výproudí protékající po vnějším povrchu karosérie jsou též minimální.

V publikaci [6] byl proveden rozbor vlivu galvanického připojení stínicího pláště anténního kabelu na vyzařovací vlastnosti antény v režimu vysílání. Zde bylo zdůrazněno, že nedokonalé připojení stínicího pláště vede k narušení impedančních vlastností antény. Důsledkem je vždy vznik nežádoucích výproudových proudů, tekoucích po stínicím plášti kabelu. Z teorému reciprocity, obecně platného pro jakýkoli anténní systém, skládající se z vlastního zářiče a napájecího vedení, tedy nutně vyplývá, že stínici pláště napáječe nedokonale přizpůsobené antény absorbuje v režimu příjmu také vý energii a stává se větší či menší měrou aktivní částí antény. Protože je napáječ umístěn pod povrchem karosérie /uvnitř Faradayovy klece/, nepodílí se nijak na příjmu užitečného signálu a přijímá pouze ne-

zádoucí vč složky rušení /BCI/, jinak ohrazené prostorem karosérie.

Z uvedeného vyplývá, že nejúčinnější prvotní ochranou proti rušení produkovanému vlastním vozidlem je dokonalé galvanické připojení stínícího pláště kabelu ke karosérii v místě anténního držáku. Z hlediska skinefektu by mělo toto připojení mít co nejmenší vlastní indukčnost /což některé anténní držáky umožňuje/, nebo je nutné připojení v několika bodech /držák RF 11/. Místo připojení je vždy nutno dokonale očistit od laku, případně pocinovat, dále použít ozubené podložky pod šroubové spoje a vše dlouhodobě chránit proti korozii Rezinem nebo Konkorem 500. Pokud máme možnost použít napáječ s dvojitým stínicím pláštěm, je též na místě ji využít, není to však bezpodmínečně nutné, pokud je anténa bezchybně impedančně přizpůsobena.

Správnou instalací vozidlové antény a napáječe jsme tedy učinili první, základní krok pro snížení hladiny rušení produkovaného při provozu vlastního motorového vozidla. Zde je na místě připomenout, že v případě radiostanic FM /pro pásmo 145 MHz/ toto základní opatření ve většině případů zcela postačuje, podmínkou je ovšem dodržení předepsaného základního odrušení I. stupně pro zapalovací soustavu dle ČSN 34 2875.

3.2.2 Základní odrušení I. stupně

Požadavky na základní odrušení stanoví již zmíněná norma ČSN 34 2875 a její doporučení jsou povinná nejen pro tuzemské výrobce automobilů, ale i pro dovozce automobilů zahraniční výroby. Provozem vozidla však dochází k postupnému opotřebení a výměně i těch dílů, které ovlivňují rušivé vyzářování. Tak se

stane, že náhradní díl, který jinak funkčně vyhovuje, původní odrušení podstatně zhorší. Tento případ je aktuální zejména u vozidel zahraničních, jejichž originální náhradní díly jsou těžko dostupné. Někdy se též negativně projeví snaha majitele o různá zlepšení nebo i odborný zájem v servisu.

Doporučení ČSN pro základní odrušení I. stupně jsou poměrně snadno splnitelná a lze je shrnout do několika následujících zásad:

Zapalovací soustava: Účelem odrušení zapalovací soustavy I. stupně je zabránit vzniku intenzivního spektrálního rušení v kmitočtovém pásmu 30 až 1000 MHz.

V případě automobilů s kovovou karosérií se vředí do přívodu vysokého napětí co nejbliže ke každé svíčce tlumicí rezistor s odporem 1 až 5 k Ω . Ve většině případů bývá tento rezistor součástí odrušovací kabelové koncovky. Stejně tak je nutný tlumicí rezistor 1 až 5 k Ω v přívodu vn od cívky k rozdělovači, a to co nejbliže k rozdělovači. I v tomto případě bývá součástí kabelové koncovky nebo spojky. Stejně odrušené koncovky mají být zařazeny do všech přívodů k rozdělovači. Kontakt přerušovače musí být vždy přemostěn předepsaným kondenzátorem s kapacitou obvykle 0,25 μ F.

U motocyklů všeho druhu a u automobilů s nekovovou karosérií, u nichž rušivé vyzařování není omezeno stíněním, se musí použít svíčky s vloženým odrušovacím rezistorem nebo stíněné odrušovací kabelové koncovky.

Pro provozovatele motorového vozidla je důležité, že prakticky všechny odrušovací prvky starých i zahraničních vozů lze nahradit tuzemskými výrobky Tesla, z nichž jmenujeme především

odrušovací soupravu OS 1-1A a navazující typy. Dáležitou součástí této soupravy kromě již zmíněných odrušených koncovek jsou kabely s odporovou duší, která účinně potlačuje BCI nejen v pásmu nad 30 MHz, ale i v pásmech KV, SV a částečně i DV.

Přehled odrušovacích prostředků Tesla spolu s doporučením pro některé typy vozů je uveden v tabulce 7. Z výše uvedeného vyplývá tedy jedna hlevní zásada:

Nikdy nevyměňovat kabely s odporovou duší /zelené nebo černé/ za kabely s měděným vodičem /červené/ v mylném domnění, že nám to pak bude lépe "pálit". To jsou právě nejčastější "odborné" zásahy. Daleko účinnější v případě, když zapalování zlobí, je zkontrolovat kabely včetně koncovek ohmmetrem. Jako radioamatérí jsme znalci elektrotechnického minima a obyčejně se na drobnou chybíčku přijde již v této fázi opravy. Nesmíme též zapomenout na to, že rušení může ovlivnit i stav svíček a vzdálenosti elektrod.

Nabíjecí souprava: Podstatnými částmi z hlediska rušení je regulační relé a alternátor /u starších vozů dynamo/. Regulační relé ruší málodky. Pokud k rušení v oblasti VKV dojde, postačí ošetřit svorku M regulátoru /buzení alternátoru/ případným obvodem podle obr.24. Někdy též pomáhá uzemnit kryt regulačního relé co nejkratšími vodiči přímo na oba připevnovací šrouby /Škoda 105 a 120/.

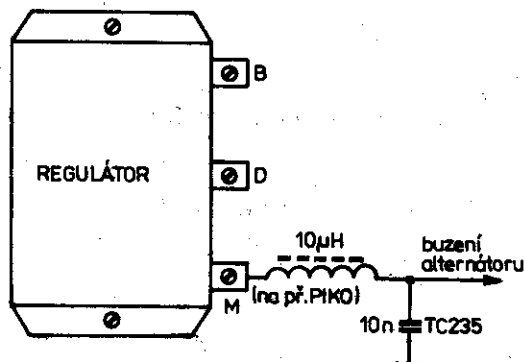
Alternátor produkuje rušení spíše s charakterem AFI. Zajímavá je skutečnost, že alternátory stejného typu někdy ruší, jindy ne a příčina je zřejmě v usměrňovacích diodách. V případech tvrdosíjněho rušení se doporučuje připojit svorku D alternátoru

Tabulka 7. Přehled odrušovacích souprav a prostředků TESLA

Druh	Typové označení	Obsahuje:	Vhodné pro:
Odrušovací souprava	OS 1 - 1A	4x odruš.koncovka OK 32-1 5x odruš.vložka OK 82-1 5x kabel s odporem duší 1x konektor pro zapal.cívku	Škoda od typu 100OMB po S120, ale i starší Spartak S440, Felicia a Octavia
Odrušovací souprava	OS 5 - 5CH	4x odruš.koncovka OK 32-5 5x odruš.pravohlá vložka 92-5 5x kabel s odporem duší 1x konektor pro zapal.cívku	Ziguli VAZ 2101 a všechny typy Lada
Odrušovací souprava	OS 1 - 0B	4x odruš.koncovka OK 32-1 1x odruš.pravohlá vložka 92-5 4x kabel s odporem duší 1x kabel Cu	Moskvici 406
Odrušovací souprava	OS 1 - 0B/1	Stejně jako předchozí typ, pouze jiná délka kabelu a místo OK 92-5 vložka OK 82-5	Moskvici 412
Odrušovací souprava	OS 5 - 5H	Stejně jako OS 5 - 5CH, jiná délka kabelu	Fiat 125 P
Odrušovací koncovka	OK 32-1, OK 32-5	Koncovka s vestavěným odporem 1 nebo 5 kΩ	
Odrušovací vložka	OK 82-1, OK 82-5	Vložka s vestav.odporem 1 nebo 5 kΩ	
Odrušovací koncovka stíněná	OKS 14-3	Stíněná koncovka s vestav. odporem 3kΩ	Jednostopá vozidla s neodrušenými svíčkami

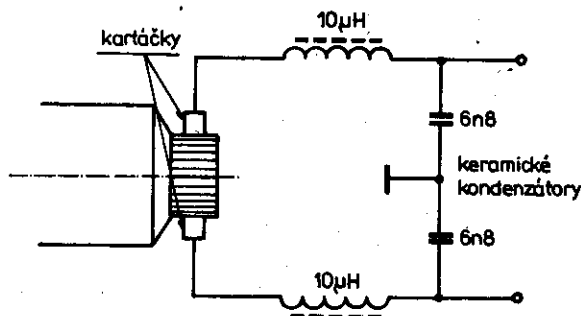
Poznámka: Kabely s odporem duší Kablo Vrchlabí typu ZRYA /černé/ mají odpor 19 kΩ.m⁻¹.
Oproti starším kabelům Kablo Kladno /zelené, takéž asi 20 kΩ.m⁻¹/ jsou méně poruchové.

přes průchodkový odrušovací kondenzátor typu WK 713 40 nebo WK 713 42.



Obr.24 Odrušení svorky M regulátoru

Motorek stěračů: Působí často rušení BCI v oblasti VKV, a to i v případě FM. Navíc jde o téměř typický jev u vozů Škoda. Nejúčinnější je provést odrušení přímo u premeny - to je u kertáčků



Obr.25 Odrušení motorku stěračů a komutátoru

komutátorového motorku podle obr.25. S výhodou použijeme ploché tlumivky výroby NDR /odrušení motorků Piko vláčků/ nebo přede-

psané indukčnosti navineme na toroidy. Kryt motorku stěračů musí být dobře spojen s karosérií, nejlépe pleteným měděným páskem.

Ventilátor topení: Projevuje se stejně jako motorek stěračů, proto i způsob odrušení je stejný. Pokud komutátorové motorky kromě rušení typu BCI vnášejí do palubní sítě i rušení AFI, je nutné blokovat všechny přívody kondenzátoru s kapacitou 1 až 3 μF co nejbliže k motorku.

Přerušovač směrových světel: Rušení je vyvoláno jiskřením kontaktů a může být nepřijemné, protože přerušovač je často v činnosti. Neštěstí v případě VKV a zejména FM se rušení prakticky neprojeví. V případě AFI a pásmu DV blokujeme přerušovač elektrolytickým kondenzátorem o kapacitě až 200 μF .

Závěrem této části lze konstatovat, že základní odrušení I. stupně včetně navíc popsaných drobných odrušovacích zásahů dává předpoklad k uspokojivému provozu nejen radiostanic pro FM, ale i vozidlového radiopřijímače pro poslech FM rozhlasu v pásmech VKV. Stručně řečeno: v motorovém vozidle dáváme přednost kmitočtové modulaci, a to v jakékoli formě. Amplitudová modulace se do motorového vozidla vzhledem ke své větší citlivosti na impulsní rušení nehodí. V případě amatérských pásem /jak KV, tak i VKV/ je AM a tedy i SSB provoz praktikován obyčejně ze stojícího mobilu, v tom případě je však zapalování vypnuto a odrušení není nutné.

Podobné je to i s provozem autopřijímačů, u nichž je preferováno pásmo VKV pro FM rozhlas a pásmo SV či DV považováno pouze za doplňkové, vhodné nanejvýš pro poslech místního vysílače. Amplitudová modulace si z hlediska odrušování všeobecně

vyžaduje řadu přídavných opatření, jejichž stručný výčet je popsán v následující části.

3.2.3 Zvláštní odrušení II. stupně

I když obsahové zaměření této publikace je dáno především požadavky provozu FM, je na místě se alespoň stručně zmínit o zvláštnostech odrušení pro amplitudovou modulaci v pásmech DV, SV a KV. Toto odrušení, ve smyslu normy ČSN označované jako zvláštní odrušení II. stupně, je pro výrobce vozidel nepovinné. Jeho účelem je omezit spektrální rušení produkované vozidlem i v pásmu 0,15 až 30 MHz.

Obecně lze říci, že postup při tomto stupni odrušení je rozdílný nejen pro vozidla různých výrobců, ale často i pro vozidla stejné značky. Zpravidla vždy se vyskytne nějaké specifikum, úporně vzdorující všem odrušovacím zásadám. Tato problematika je velmi podrobně zpracována v literatuře [7]. Na tomto místě pro případné sájemce je možné uvést jen několik hlavních zásad:

1. Anténa musí být připojena stejně jako v odst. 3.2.1. Jenekoli náhražky, stejně tak používání kabelkového přijímače s feritovou anténou uvnitř vozu nemají naději na úspěch.
2. Základní odrušení I. stupně musí být bez závad. Kabely s odporovou duší jsou samozřejmostí.
3. Blok motoru musí být dokonale galvanicky spojen s karosérií plteným měděným páskem, stejně tak musí být pospojovány pohyblivé části karoserie /kapoty, dveře/. Blok motoru se považuje za ideální zem.
4. Rušení se snažíme zachytit bezprostředně v místě jeho vzniku, eť už jde o alternátor, regulátor, zapalovací cívku

Tabulka 8. Přehled odrušovacích kondenzátorů a filtrů pro motorová vozidla

Výrobce	Druh	Typové označení	Parametry	Použití
TESLA	Průchodkový odrušovací kondenzátor	WK 713 40 WK 713 41 WK 713 42	0,5 μ F/24 V/15 A 0,5 μ F/24 V/100 A 1 μ F/24 V/15 A	odrušení prvků palubní sítě vozidla pro KV a SV
	hermetický odrušovací filtr	WN 85 201	1 μ F/24 V/100 A max. 100 V/6 A	odrušení pro nejzáročnější požadavky v rozsahu 0,15 \pm 300 MHz
WEB Kondensatoren- werke Freiberg NDR	odrušovací kondenzátor	1,8 μ F/160 V TGL 5187 2,5 μ F/160 V TGL 5187 0,4 μ F/125 V KoBy 61428	1,8 μ F/160 V 2,5 μ F/160 V 0,4 μ F/125 V	odrušení pro pásmo SV, DV odrušení pro nejzáročnější požadavky v rozsahu 0,15 \pm 300 MHz
WEB Kondensatoren- werke Gera NDR	průchodkový odrušovací kondenzátor	A 1/160 TGL 10 794 B 1/160 TGL 10 794 B 0,25/160 TGL 10 794	1 μ F/60 A 1 μ F/15 A 0,25 μ F/160 V	odrušení DV, SV, KV a VKV pro obtížné případy
	průchodkový odrušovací filtr LC	C 0,25/300 TGL 10 794 D 0,25/300 TGL 10 794	0,25 μ F/300 V/ 100 A	odrušení ve speciálních případech v pásmech KV a VKV
BERU NSR	průchodkový odrušovací kondenzátor	SK 215/2	3 μ F	univerzální kond. pro odrušení zapal. cívky, regulátora, dynamika elternátoru, motoru stěrače, větráku

atd. Vhodné jsou širokopásmové odrušovací kondenzátory, jejichž přehled je uveden v tab.8. Lze doporučit použití odrušovací soupravy Tesla OS-01 nebo OS-02, která obsahuje odrušovací kondenzátory a další potřebné prvky.

5. Stíněné kabely a koncovky v zapalovací soustavě použijeme teprve poté, když všechna ostatní opatření selhala. Naopak jejich použití u vozů s nekovovou karosérií je při odrušení II. stupně zpravidla nutností.

Tabulka 9. Přehled odrušovacích prostředků WBN Teltow, NDR

Druh	Typové označení	Vložený odpor
stíněná konc.pravoúh.	ZES A 14, ZES A 18	5 k Ω
stíněná konc.přímá	ZES B 14, ZES B 18	5 k Ω
stíněná konc.pravoúh.	ZES C 14, ZES C 18	5 k Ω
stíněná konc.přímá	ZES D 14, ZES D 18	5 k Ω
odrušovací spojka	ZEM	esi 9 k Ω

Tyto prostředky jsou určeny především pro odrušení dvoutaktních motorů, lze je však použít v obtížných případech i u čtyřtaktů. Pozor! Je nutno rozlišovat u svíček tzv. malý šestihran /závit M 14/ a velký šestihran /závit M 18/, běžný u vozů Škoda. Pro vozy Trabant je určena speciální odrušovací souprava Trabant 8319.6 se stíněnými kabely a koncovkami, vyráběná VEB Fahrzeugelektronik Karl Marx Stadt.

6. Při zvláštním odrušení II. stupně se nesmí zhoršit základní odrušení I. stupně, ani negativně ovlivnit funkce elektrických obvodů vozidla.

Závěrem k této části, zabývající se odrušováním rádiových prostředků v motorovém vozidle, lze dodat, že jde o problematiku ryze radiosmatérského, čili do značné míry experimentál-

ního charakteru. Problémy, vyskytující se při jejím řešení, nutí k logické úvaze a vyžadují uplatnit technický um a důvtip, který je radicamatérské povaze vlastní. Zdánlivě nepatrné důsledky nás nutí uvažovat o hlubších příčinách i souvislostech a rozšiřují tak praktickou formou naše znalosti ve stále důležitějším oboru elektroniky, kterým je bezpochyby elektromagnetická slučitelnost.

Čtvrtá část seboru Obvodová technika kmitočtové modulace, zaměřená na napájení a odrušování mobilních radiostanic, je částí závěrečnou.

Nebylo záměrem a ani v možnostech autora postihnout danou problematiku v celém rozsahu, ale zachytit současný stav rozvoje oboru a nastinit další perspektivy. Autor byl veden především snahou o předání praktických poznatků všem svazarmovským technikům a konstruktérům, kteří se tematice věnují, a to přístupnou a srozumitelnou formou.

Shrnutí a utřídění všech poznatků by nebylo možné bez účinné spolupráce přátel - radicomatérů. Z nich patří poděkování zejména:

ing. Vladimíru Gerykovi, OKIBEG, za náročnou a důslednou lektورaci,

ing. Jiřímu Štěpánovi, OKLACO, za pečlivé provedení obrazové části,

příteli Sietmaru Henschelovi, Y22QN, za konzultace a nezištěnou mezinárodní spolupráci,

všem spolupracovníkům z Technické komise radiklubu ČSR a členům radiklubu Karlovy Vary za podnětné a kritické připomínky. Dík patří též pracovníkům edičního odboru PVO ÚV Svazarmu za technické zpracování publikace.

Karlovy Vary, prosinec 1987
Petr Novák, OKIWPN

SEZNAM POUŽITÉ LITERATURY

- [1] Kozumplík, J.: Chemické zdroje proudu ve sdělovací technice, NADAS 1981
- [2] Kyrš, Fr.: Měniče a stabilizátory napětí, Amatérské rádio B 4/1982
- [3] Schröder, R.: Moderne Schaltregler für den Funkamateuer, Funkamateuer 6/1981
- [4] Henschel, S.: Sperrwandler 12 V/24 V mit geregelter Ausgangsspannung, Funkamateuer 9/1981
- [5] Henschel, S.: Transistor - Leistungsverstärkerstufen für das 144 MHz - Amateurband, Funkamateuer 4/1985
- [6] Novák, P.: Obvodová technika kmitočtové modulace III, Žádová edice ÚV Svazarmu, 1988
- [7] Skála, J.: Rušení a odrušování, Amatérské rádio B 2/1980

ÚČELOVÁ EDICE ÚV SVAZARMU

Knižnice zájmové, branou technické a sportovní činnosti

Řídí Nina Erbenová

PŘEDNÁŠKY Z AMATÉRSKÉ RADIOTECHNIKY

OBVODOVÁ TECHNIKA KMITOČTOVÉ MODULACE IV.

Vydal ústřední výbor Svazu pro spolupráci s armádou v Praze roku 1988 jako svouji 2992. publikaci, 112 stran, 25 obrázků, prostřednictvím podniku ČO ČSTV Sportpropag

Zpracoval Petr Novák OKIWPN

Obálku navrhl František Prouza

Grafická úprava Miloslav Torn

Odpovědná redaktorka PhDr. Lenka Lukavská

Technický redaktor Jindřich Běhal

Náklad 5 000 výtisků. Publikace je určena pro vnitřní potřebu Svazarmu a rozšiřuje se bezplatně.

Vytiskl: Metasport Ostrava 1183/88